

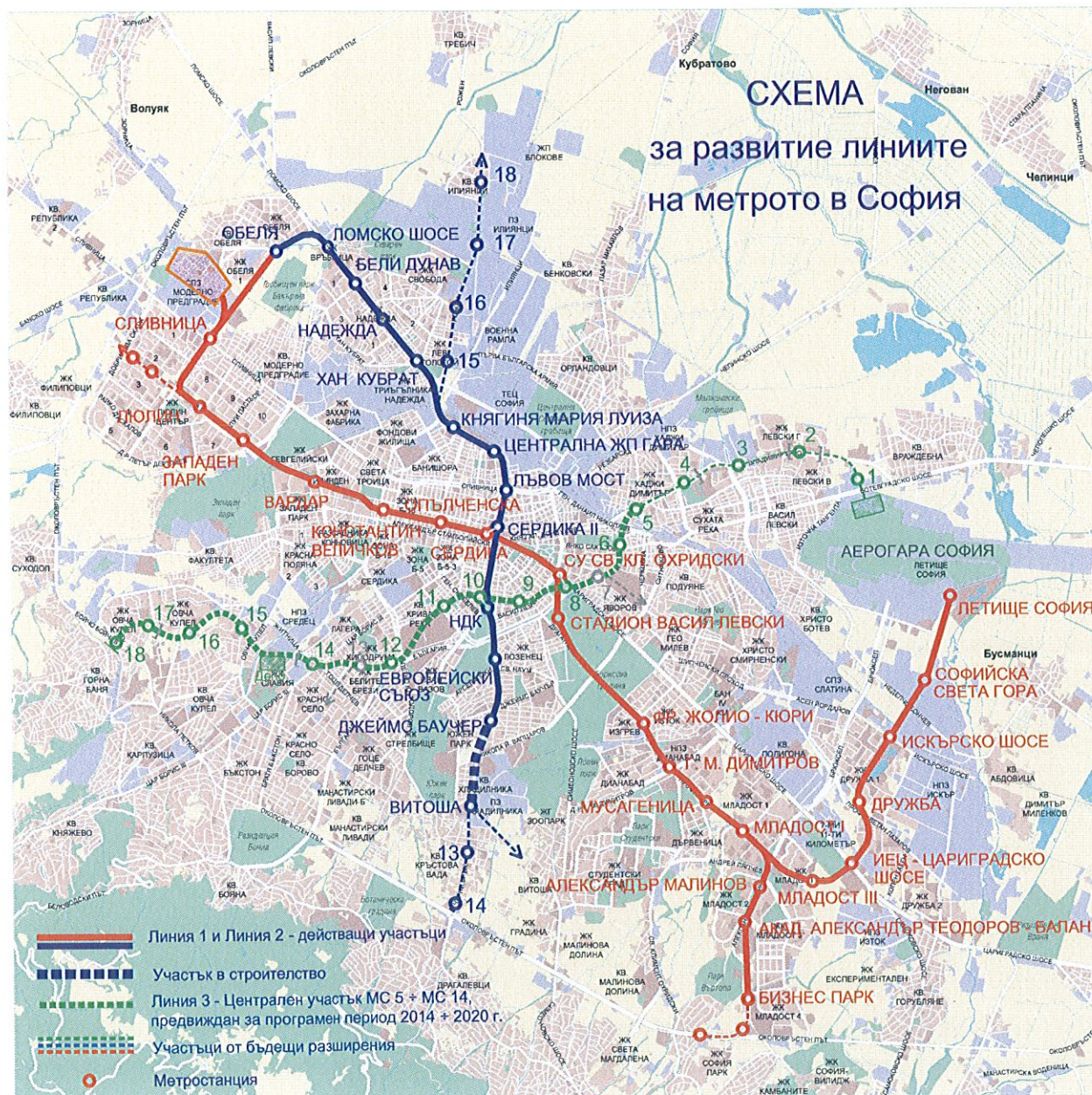
Инвестираме във Вашето бъдеще



ЕВРОПЕЙСКИ СЪЮЗ  
ЕВРОПЕЙСКИ ФОНД  
ЗА РЕГИОНАЛНО РАЗВИТИЕ



ОПЕРАТИВНА ПРОГРАМА  
ТРАНСПОРТ И  
ТРАНСПОРТНА ИНФРАСТРУКТУРА



## ТРЕТИ МЕТРОДИАМЕТЪР

MC III-18

ФАЗА: ИДЕЕН ПРОЕКТ

ЧАСТ: КОНСТРУКЦИИ

Възложител:  
МЕТРОПОЛИТЕН ЕАД

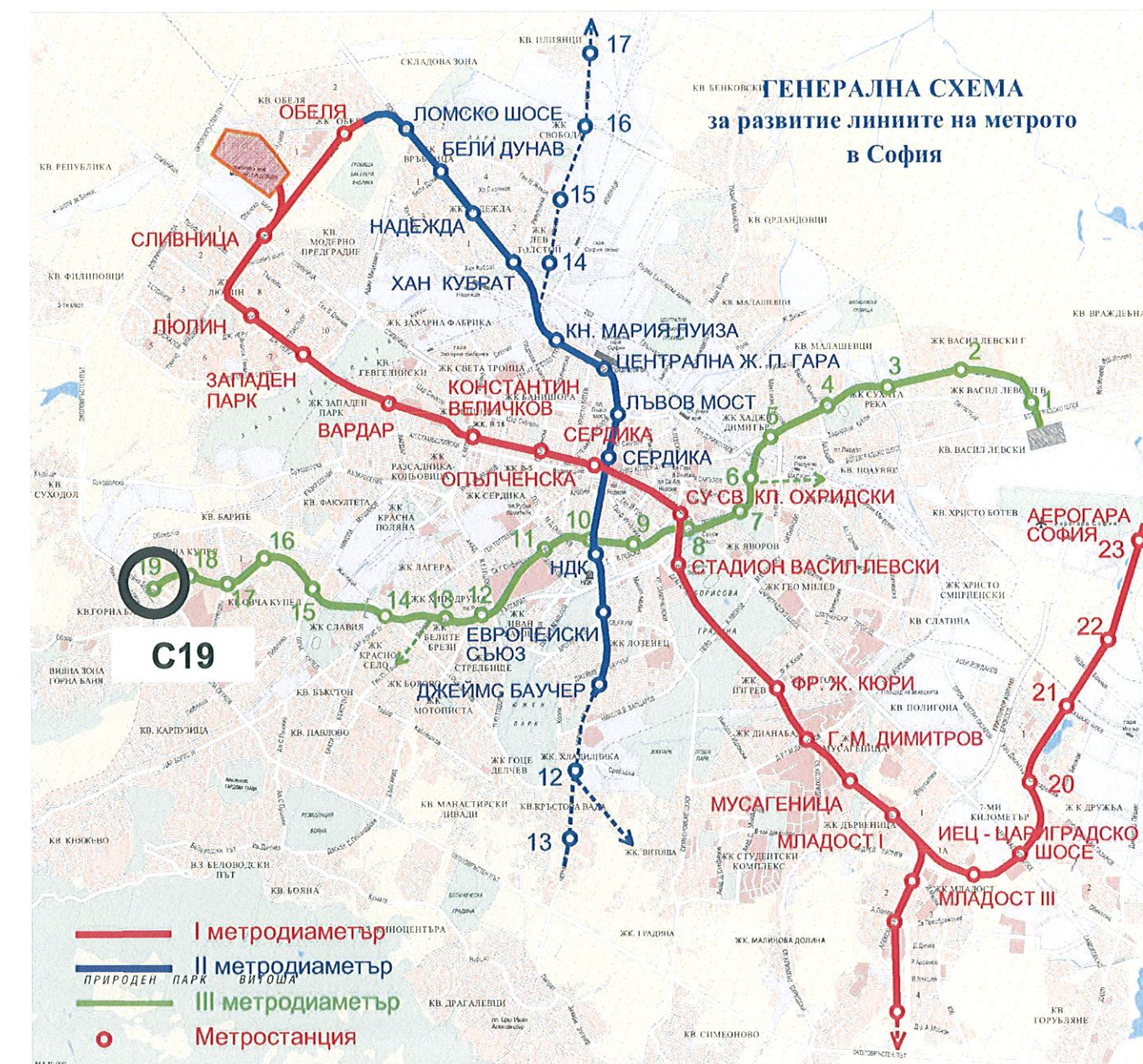
Проектант:  
МЕТРОПРОЕКТ Прага А.Д.



**Обект:**
**“МЕТРО СОФИЯ” – ТРЕТИ ДИАМЕТЪР**
**Подобект:**
**КРАЙНИЯ**
**Фаза:**
**ИДЕЕН ПРОЕКТ**

## СЪДЪРЖАНИЕ:

Обяснителна записка	12 5487 001 05 01 19 001
Количествена сметка	12 5487 001 05 01 19 002
Статичен и динамичен анализ на конструкцията	12 5487 001 05 01 19 003
Укрепване на строителния котлован	12 5487 001 05 01 19 004
Кофражен план основната плоча	12 5487 001 05 01 19 005
Кофражен план перона	12 5487 001 05 01 19 006
Кофражен план над перона 1	12 5487 001 05 01 19 007
Кофражен план над перона 2	12 5487 001 05 01 19 008
Кофражен план над перона 3	12 5487 001 05 01 19 009
Кофражен план под вестибюла юг и вестибюла север	12 5487 001 05 01 19 010
Кофражен план вестибюла юг	12 5487 001 05 01 19 011
Надлъжен разрез	12 5487 001 05 01 19 012
Напречни разрези	12 5487 001 05 01 19 013



## ОБЯСНИТЕЛНА ЗАПИСКА

### ГЕОМЕТРИЧНИ И ТЕХНИЧЕСКИ ХАРАКТЕРИСТИКИ

Решението на станцията се основава на геометрията и габаритите на трасето, на технологичните изисквания, спецификата на оборудването и пътникопотока. Става дума за **айна станция на Трети метродиаметър**.

Станция № 19 е разположена в западната част на ж.к. "Овча купел", напречно под I. "Бойчо Бойчев". Метростанцията има два вестибула. Северният е надземен – води към пътстовището на ул. "Президент Линкълн" и ул. "Централна", южният е подземен и дава **можност за прекачване на влаковете на крайградския транспорт**. Дължината на станцията е **99 м** – има коловози за гариране и пред станцията има цялостно пресичане на коловозите. **Задължителният ентърт на станцията е в км 15+738.307 на десния коловоз**.

Метростанцията има входове от двете посоки. От входа в северната страна се влиза **право във вестибула**. Над него, на нивото на ул. "Бойчо Бойчев" има закрито пространство **неподвижно стълбище и асансьор**, оборудвано с банкомат и телефони, с възможност за **екачване на автобусен транспорт**. От повърхността до южния, подземен вестибюл пътниците **имат с помощта на две неподвижни стълбища, ескалатори и асансьори**, които същевременно  **позволяват безбарьерно преодоляване на съществуващите препятствия по пътя – релсовия път**. **Във същността, на повърхността, има банкомати и телефони**.

### ИНЖЕНЕРНО-ГЕОЛОЖКА ХАРАКТЕРИСТИКА НА РАЙОНА

За този етап на проекта през септември 2012 г. беше изработено инженерно-геоложко **изучаване**, но за тази метростанция не бяха извършени, поради недостиг на време, никакви **геологки сондажи**. По тази причина се изходи от вече познатите геологки условия в останалите **станции**, тъй като те са на около **2 км** разстояние от този участък. Този факт трябва да се вземе **съедвид** при проектирането на следващия етап на проектната документация и при самата **ализация на строежа**. Преди самото започване на каквато и да е строителна дейност, е **обходимо да се направят геологки сондажи на мястото на станцията и получените резултати да се сравнят със стойностите, които са използвани в този проект**. Според инженерно-геоложко **изучаване**, извършено в останалите станции, геологкият строеж е формиран от антропогенни **аслаги** (чакъли, с песъчливо запълване, пясъчна и прахова глина), с мощност около 1 м, под **които се намират кватернерни пластове с мощност от прибл. 3 м** (наслаги и глинисти **акъли**), както и **плиоценски отложения**: в горната част те се състоят от прахови глини с мощност **2,2 м** (жълто-кафяв геологки комплекс) и редуващи се слоеве прахови глини и пясъци (**сиво-зелен неогенски комплекс**). Нивото на подземната вода се намира в пластове от чакълни и **есъчливи нехомогенни земни маси** прибл. 3,45 м под нивото на терена. Поради неравномерните **непропускливи пластове** между **отделните водоносни пластове** е установено, че те формират **един водноносен хоризонт**, чиято мощност варира между 5-10 м и 250-300 м. Под дължината на **строителната яма** се намират **хомогенни непропускливи земни маси**, които обаче са с локални **ефекти**, представлявани от **пясъчни и прахово песъчливи глинисти слоеве**. По тази причина е **забранено конструктивно решение за осигуряване на стабилността на дължината на строителната яма** **рез струйно инжектиране**.

Изследваният терен се намира в регион със сейзмичен интензитет от IX. степен според **калата MSK - 64** и затова при **оразмеряване на конструкцията** трябва да се вземе **кофициент на сейзмичност Kc = 0,27**.

В следващия етап на **проектиране** е необходимо да се проведат допълнителни **изучвания**, чрез които ще бъде уточнен инженерно – геологкият профил, ще бъде изследвана **клонността на пясъците** към **втечняване**, а също ще бъде установлен притокът на вода **от строителните изкопи**, които ще бъдат реализирани по време на изграждането на станциите.

### 3. КОНСТРУКТИВНО РЕШЕНИЕ

#### 3.1 Укрепване на котлована

Главният котлован е с дължина 199,73 м. В най-широкото място ширината му е 21,4 м, най-дълбокото място е 24,5 м под терена. Котлованът е укрепен с помощта на подземни стени с дебелина 120 см.

Около една половина на котлована е осигурена чрез откос с наклон 1:1 с една берма чак до нивото на тавана. Откосът е стабилизиран с пръскан бетон с дебелина 200 mm с една мрежа 8x8/200x200 и гвоздеи с профил 32 mm и дължина 4 m в растер 2x2 m. Под нивото на тавана котлованът е осигурен с подземни стени с дебелина 1,2 м. Стените в блокове от 2,5 до 5 м са закотвени в четири анкерни нива и със слой струйно инжектиране под дължината.

Другата половина на котлована е осигурена чак до нивото на тавана с берлинско укрепване от I 360 по 1,5 m с едно закотвящо ниво. Под нивото на тавана котлованът е осигурен с подземни стени с дебелина 1,2 м. Стените в блокове от 2,5 до 5 м са разпънати с главния таван и със слой струйно инжектиране под дължината, освен това са закотвени с възможни анкери в три анкерни нива под тавана на станцията.

Уплътняването на дължината на котлована на станцията с оглед на геологкия състав, нивото на подземните води и значителното вертикално натоварване от околните сгради в близост до обекта се предвижда със струйно инжектиране, проведено от предварителния изкоп след бетонирането на подземните стени. Струйното инжектиране се предвижда не само заради уплътнението на дължината, но също и за разпъване на шлицовите стени под дължината; значителното натоварване на повърхността (околни сгради) води до нестабилност на свободната пета на укрепващата стена. Слойт струйно инжектиране ще бъде закотвен в земната основа (например с анкери GEWI). Анкерите ще бъдат оразмерени според подемната сила на водата, която трябва да бъде уточнена с допълнително геологическо проучване в рамките на следващия етап.

Плитките изкопи за прилежащите обекти – стълбища за изход от станцията и асансьори в западната част, са укрепени от разпънати шлицови (берлински) стени.

#### 3.2 Носеща конструкция на станцията

Станция MC19 се състои от 6 самостоятелни дилатационни части – блокове 1-6, независими в сейзмично и температурно отношение.

Блоковете 1-3 ще бъдат изпълнени в открит осигурен котлован. Върху фундаменталната плоча с дебелина 100 см ще бъдат изпълнени вертикалните конструкции с работни фуги на нивата на свързване на хоризонталните конструкции. Между вертикалните носещи вътрешни конструкции и подземните стени ще бъде изпълнен хидроизолационният слой. След това ще бъдат изпълнени хоризонталните конструкции на главните греди и тавана над нивото на перона, който същевременно ще разпъва вертикалните конструкции. По-нататък ще продължи бетонирането на вертикалните носещи конструкции, с които чрез втути ще е свързана носещата конструкция на тавана на станцията.

Блоковете 4-6 ще бъдат изпълнени в закрит котлован чрез странично добиване. По време на първата фаза ще бъдат изпълнени подземните стени, върху които на ниво прибл. -5,30 m под повърхността ще се бетонира носещата хоризонтална таванна конструкция на нивото на вестибюла – под вестибюла. Последната ще бъде засипана след изпълняване на изолациите и осигуряване на котлована с опорна стена. След това над конструкцията ще бъде възстановен трафикът. Последователно строителството ще продължи по начин, подобен на този на останалите блокове.

### 3.2.1 Статични въздействия на конструкцията

Статичните въздействия на конструкцията се описват по референтното напречно сечение, което се намира в центъра на станцията. Станцията се състои от взаимно твърдо свързани площи, стени и колони, които освен собствената си маса и променливо натоварване трябва да са устойчиви на хидростатичен натиск, хоризонтален натиск на земните маси до дълбочина 20 м под повърхността, вертикално утежняване на таванната плоча със земна маса със средна височина на горицето 6,5 м и повърхностно утежняване с трафик на нивото на терена. При осов распер на таванната конструкция от 16,5 м става дума за твърде сложна инженерна конструкция, на която отговарят и нужните размери на отделните носещи елементи, посочени в чертежната част.

Вертикалните контурни конструкции са устойчиви на хоризонталния земен натиск благодарение на тяхната дебелина, твърдите им връзки в работните фуги и разпънатия междинен таван на нивото на вестибула.

Фундаментната плоча се оценява на базата на еластично долнище със зачисляване на ефекта на твърдостта, повищена със струйно инжектиране. Фундаментната плоча, предвидена по този начин, е същевременно устойчива на добра хидростатична подемна сила на водата.

Устойчивостта на хоризонталната таванна конструкция на високо вертикално утежнение от земни маси и трафик е най-важното качество за статичното въздействие на конструкцията на станцията. Хоризонталните конструкции също трябва да пренасят натоварването в контурните стени без възможност за използване на вътрешни опори. Таванната плоча издръжа тези натоварвания като самостоятелен елемент, в юглите свързана с помощта на вути с вертикалните носещи конструкции. В случай на изпълнение на станцията в открит котлован тази таванна конструкция е кораво свързана с вътрешните носещи вертикални стени, в случай на закрит котлован и добиване на земните маси члено, тази конструкция е свързана с укрепващите подземни стени като същевременно ги разпъва и помага за пренасяне на хоризонталния натиск от прилежащите земни маси и подземната вода.

На около 2/3 от светлата височина се намират гредите на свода, които помагат за пренасянето на хоризонталните реакции от вертикалните стени, върху които въздейства активният натиск на земните маси. Освен това те изпълняват и опорна функция за средните пасарелки, свързвачи северните и южните изходи от станцията. В оста на станцията е проектирана пасарелка с асансьори към перона, който също е подпиран от тези сводови дъги.

Гореописаното статическо въздействие е валидно за повечето конструкции на станцията. В северния и южния край на станцията системата конструкции е допълнена от вътрешните стени и разпънатите междинни тавани.

При проектиране на конструкцията бяха използвани следните стандарти:

- EN 1990: ОСНОВИ НА ПРОЕКТИРАНЕТО НА СТРОИТЕЛНИТЕ КОНСТРУКЦИИ.
- EN 1991-1-1: ВЪЗДЕЙСТВИЯ ВЪРХУ СТРОИТЕЛНИТЕ КОНСТРУКЦИИ; Част 1-1:

Основни въздействия. Плътности, собствени тегла и полезни натоварвания в сгради.

- EN 1991-2: ВЪЗДЕЙСТВИЯ ВЪРХУ СТРОИТЕЛНИТЕ КОНСТРУКЦИИ; Част 2: Подвижни натоварвания от трафик върху мостове.

- EN 1992-1-1: ПРОЕКТИРАНЕ НА БЕТОННИ И СТОМАНОБЕТОННИ КОНСТРУКЦИИ;

Част 1-1: Общи правила и правила за сгради.

- EN 1997-1: ГЕОТЕХНИЧЕСКО ПРОЕКТИРАНЕ; Част 1: Основни правила.
- EN 1998-1: ПРОЕКТИРАНЕ НА КОНСТРУКЦИИТЕ ЗА СЕИЗМИЧНИ ВЪЗДЕЙСТВИЯ;

Част 1: Общи правила, сейзмични въздействия и правила за сгради.

- EN 1998-5: ПРОЕКТИРАНЕ НА КОНСТРУКЦИИТЕ ЗА СЕИЗМИЧНИ ВЪЗДЕЙСТВИЯ;

Част 5: Фундаменти, подпорни конструкции и геотехнически аспекти

## 4. ХИДРОИЗОЛАЦИЯ И ФУГИ

Поради разположението на почти цялата станция под нивото на подземната вода е предвидена система изолации за напорна вода. Предвидена е изолация от PVC фолио по системата „във вана“.

На места със сложна форма на конструкцията е предвидена пръскана изолация.

### 4.1 Напорна вода (фундаментни площи, стени, таванна плоча)

Хидроизолацията ще бъде изпълнена от удвоена тествана PVC изолация 3+2 мм с възможност за допълнително инжектиране. Изолацията ще бъде изпълнена в сектори до 100 м<sup>2</sup>. Връзките на изолацията са с тествани двойни заваръчни шевове. Дилатационните и главни те работни фуги са решени със фугови ленти.

Основната структура е:

- основа – подложен бетон, конструкция
- геотекстил 500 г/м<sup>2</sup>
- изолационно фолио с дебелина 3 mm
- фолио 2 mm за горния слой с бутони от 1,5 до 2 mm
- геотекстил 500 г/м<sup>2</sup>
- покриваща конструкция

### 4.2 Пръскана изолация

Предвижда се предимно за местата на пресичане на котлована от тунелните участъци, както и за нивото на таванната конструкция на 4-6 дилатационни блокове в мястото на връзка на хоризонталните и вертикалните конструкции на подземните стени. За тези места PVC фолиото не е подходящо, тъй като не е възможно да се постигне надеждно свързване на отделните пояси в изкривените форми на местата на пресичане на отделните конструкции.

Изолацията е предвидена като пръскана хидроизолационна мембра на базата на цимент и кополимер на винил ацетат и винил естер и е предназначена за изолация на бетонни конструкции против вода и влага като свързана хидроизолационна система без несвързани части. Този тип изолация не изисква спирателни кранове или разделяне на участъци.

Нанасянето се осъществява по мокър начин в повече слоеве (мокър метод).

## 5. ОСНОВНИ ЕТАПИ НА СТРОЕЖА

### 5.1 Дилатационен блок 1 -3

Изграждането на обекта на станцията ще включва следните основни етапи:

1. Добив от котлована (предварителния изкоп) на равнище на около 5 м под съществуващия терен, страничните стени на изкопа са изпълнени с откоси, осигурени с гвоздеи и слой пръскан железобетон.
2. Изпълнение на подземните стени от дъното на котлована (предварителния изкоп) до ниво прибл. 25 м под съществуващото ниво на първоначалния терен.
3. Изпълнение на струйно инжектиране под дъното на окончателния котлован
4. Постепенен добив от котлована и анкериране чак до нивото на окончателното дъно на котлована
5. В случай на нужда изпълнение на уплътняващо инжектиране в места с локални просмуквания в дъното
6. Изпълнение на подложните бетони
7. Полагане на водонепропусклива изолация в дъното, постепенно и на изравнените стени на укрепването
8. Последователно изпълнение на носещите железобетонни конструкции на станцията от фундаменталната плоча с работни фуги в долните и горните нива на таваните
9. Изпълнение на изолацията на тавана и извършване на засипки.

## 5.2 Дилатационен блок 4-6 (инвертно изпълнение на строителството в закрита яма)

Изграждането на обекта на станцията ще включва следните основни етапи:

1. Изпълнение на подземните стени от терена от ниво прибл. 8,5 м под терена до 3 м под дъното на окончателния котлован
2. Изпълнение на укрепващите конструкции от нивото на терена до дълбочина 8,5 м под терена
3. Постепенен добив от котлована до нивото на долния ръб на окончателната таванна плоча на нивото на вестибула и изпълняване на анкерите по етапи
4. Изпълнение на струйното инжектиране под дъното на окончателната яма от нивото на дъното на ямата на предварителния изкоп (прибл. 8,5 под терена)
5. Изпълнение на подложните нивелиращи бетони
6. Изпълнение на носещите железобетонни тавани конструкции над нивото на вестибула, включително подготовката за допълнително свързване на вертикалните окончателни носещи конструкции на станцията
7. Изпълнение на изолационните слоеве, включително защитните слоеве
8. Изпълнение на опорната стена за укрепване на изкопа на окончателния котлован
9. Извършване на засипване, включително уплътнение
10. Изпълнение на временните транспортни мерки над изпълнената част

## 6. ИЗПОЛЗВАНИ МАТЕРИАЛИ

Струйно инжектиране	минимална якост на натиск 5 MPa
Бетон за подземните стени	C25/30
Подложни бетони	C12/15
Пълнежни бетони	C12/15
Бетон за железобетонните конструкции	C30/37
Стомана бетонна	B500, клас на разтегливост C

## 7. ПРИЛОЖЕНИ НОРМИ И НАРЕДБИ

При следващата фаза на проектиране да се спазват изискванията на следните нормативни документи:

- Закон за опазване на околната среда - ДВ бр.91/2002 г. и всички изменения и допълнения.
- Наредба № 2, за екологичните изисквания към териториално-устройственото планиране и инвестиционните проекти - ДВ бр.24 /2003 г.
- Наредба № 1 за норми за допустими емисии на вредни вещества в газовете, изпускати в атмосферата - ДВ бр. 64/2005 г.
- Наредба № 6 за показателите за шум в околната среда и вредните ефекти от шума - ДВ бр. 58/2006 г. .
- Наредба за реда за извършване на оценка на въздействието върху околната среда ( ДВ бр. 25/2003 г.).

Съставили:

Роман Ворач  
инж. Мартина Урбанкова  
Прага, март 2013 г.



# КОЛИЧЕСТВЕНА СМЕТКА ПО ИДЕЕН ПРОЕКТ

**част: MC19 - Крайния**

ФАЗА: ИДЕЕН ПРОЕКТ

Поз. №	Наименование	Мярка	Кол. по ИП
1.	2.	3.	4.
1.			
1	Изкоп до горния ръб на шлицови стени	м <sup>3</sup>	44 604,56
2	Изкоп до дъното на конструкцията - отворен котлован	м <sup>3</sup>	34 832,66
3	Изкоп до дъното на конструкцията - под покривна плоча	м <sup>3</sup>	32 867,67
4	Обратна засипка	м <sup>3</sup>	44 604,56
5	Засипка със закупен материал	м <sup>3</sup>	13 118,62
6	Водещи бордюри за подземни стени	м	1 377,31
8	Шлицова стена с дебелина 800 мм	м <sup>2</sup>	1 980,00
9	Шлицова стена с дебелина 1200 мм	м <sup>2</sup>	11 240,97
10	Разрушаване на шлицови стени	м <sup>3</sup>	297,00
11	Пръскан бетон на наклони с мрежа и фиксиране с гвоздеи	м <sup>2</sup>	5 535,75
12	Берлински стени, включително дървената обшивка	м <sup>2</sup>	3 101,62
13	Стоманени конструкции за осигуряване на шлицови стени	т	165,37
14	Бетонни конструкции за осигуряване на шлицови стени, включително армировката	м <sup>3</sup>	95,04
15	Струйно инжектиране, диаметър на колоната 1,25 м	м	22 170,72
16	Анкириране на шлицови стени от възможни анкери	м	37 224,00
17	Анкери ламинатни	м	280,50

Поз. №	Наименование	Мярка	Кол. по ИП
1.	2.	3.	4.
18	Подложни бетони	м <sup>3</sup>	1 345,41
19	Зашитни бетони	м <sup>3</sup>	3 423,31
20	Конструкции от неармиран бетон	м <sup>3</sup>	1 516,90
21	Бетонови фундаменти	м <sup>3</sup>	4 393,40
22	Бетонни колони	м <sup>3</sup>	52,56
23	Бетонни стени с дебелина до 300 мм	м <sup>3</sup>	198,00
24	Бетонни стени с дебелина от 400 мм до 1000 мм	м <sup>3</sup>	9 824,02
25	Бетонови таванни конструкции с дебелина до 300 мм	м <sup>3</sup>	651,75
26	Бетонови таванни конструкции с дебелина от 400 мм до 1000 мм	м <sup>3</sup>	3 375,90
27	Бетонови таванни конструкции с дебелина над 1000 мм	м <sup>3</sup>	3 926,34
28	Армировка на железобетонни конструкции	т	3 363,30
29	Носещи стоманени конструкции	т	126,50
30	Хидроизолация на фундаментна плоча	м <sup>2</sup>	4 654,10
31	Хидроизолация на стени	м <sup>2</sup>	9 684,97
32	Хидроизолация на таванна плоча	м <sup>2</sup>	4 981,90
33	Разрушаване на бетонни конструкции	м <sup>3</sup>	495,00
34	Остъклен покрив	м <sup>2</sup>	418,95

# СТАТИЧЕН И ДИНАМИЧЕН АНАЛИЗ НА КОНСТРУКЦИЯТА

## 1. ПРИНЦИПИ НА СТАТИЧНИТЕ ИЗЧИСЛЕНИЯ

За изчисленията на укрепването на котлована е била използвана програмата FINE GEO 5 по метода на зависимите налягания, при което изходните стойности са били взети от инженерно-геологичното изследване от X/2012.

Отделните блокове на конструкцията на станцията са били изчислени на 2D прътови модели, дефинирани в решаващите сечения на тунела. Статически изчисления бяха извършени за всички решаващи напречни сечения на тунела. За прегледност по-нататък е представено само решаващото напречно сечение на тунела.

За изчисляването на вътрешните сили за конструкцията е била използвана програмата FINE GEO 5, за оразмеряване е била използвана програмата Fine Beton EC. Земната основа под конструкцията е била моделирана според IGP.

## 2. ПРОЕКТНИ НАТОВАРВАНИЯ

### 2.1 Вертикални натоварвания

В изчисленията винаги автоматично се имат предвид характерните стойности на обемното тегло на железобетона съгласно EN 1991-1-1:  $\rho_{conc} = 25,0 \text{ kN/m}^3$ .

В изчисленията се предполага полезно натоварване съгласно EN 1991-1-1, отнесени към съответните категории според начина на използване.

Нивото на подземните води при разчета на укрепването на котлована се предполага в дълбочина 5,2 м под терена (съгласно IGP). Височината на нивото на подземните води за оценка на стабилността на конструкцията спрямо подемната сила на водата не е била определена от възложителя. В разчета е била предположена на ниво 5,2 м под терена.

### 2.2 Хоризонтални натоварвания

#### 2.2.1 Земен натиск – постоянно натоварване

Натоварването от земния натиск с влиянието на подземните води е определено в програмата Fine Geo 5 съгласно EN 1997-1.

#### 2.2.2 Други натоварвания

- в изчисленията винаги автоматично се имат предвид характерните стойности на обемното тегло на железобетона съгласно ČSN EN 1991-1-1:  $\rho_{conc} = 25,0 \text{ kN/m}^3$

- в изчисленията се предполага полезно натоварване съгласно ČSN EN 1991-1-1, отнесено към съответните категории според начина на използване

#### Вертикални натоварвания

Таван на станцията	d m	$\rho_k$ $\text{kN/m}^3$	$F_{k,m}$ $\text{kN/m}^2$	$\gamma_{F,inf}$ -	$F_{d,inf}$ $\text{kN/m}^2$	$\gamma_{F,sup}$ -	$F_{d,sup}$ $\text{kN/m}^2$
Засипка на конструкцията (вкл. изол.)	$f_{zk}$	8,00	22,00	176,00	1,00	176,00	1,35 237,60

СДК висящ таван	$f_{sdk}$	0,02	15,00	0,30	1,00	0,30	1,35	0,41
Общи постоянни натоварвания	$g_s$				176,30		176,30	237,60
Подвижни натоварвания на повърхността	$q_p$		15,00			1,50	22,50	

Перон	d m	$\rho_k$ $\text{kN/m}^3$	$F_{k,m}$ $\text{kN/m}^2$	$\gamma_{F,inf}$ -	$F_{d,inf}$ $\text{kN/m}^2$	$\gamma_{F,sup}$ -	$F_{d,sup}$ $\text{kN/m}^2$
Каменна настилка	$f_{kd}$	0,03	27,00	0,81	1,00	0,81	1,35 1,09
Бетонна замазка	$f_{bm}$	0,07	23,00	1,61	1,00	1,61	1,35 2,17
Общи постоянни натоварвания	$g_s$		2,42		2,42		3,27
Полезно експлоатационно натоварване	$q_u$		5,00			1,50	7,50

Долна плоча / дъно	d m	$\rho_k$ $\text{kN/m}^3$	$F_{k,m}$ $\text{kN/m}^2$	$\gamma_{F,inf}$ -	$F_{d,inf}$ $\text{kN/m}^2$	$\gamma_{F,sup}$ -	$F_{d,sup}$ $\text{kN/m}^2$
Релсови бетони	$f_{bd}$	2,00	23,00	46,00	1,00	46,00	1,35 62,10
Общи постоянни натоварвания	$g_s$		46,00		46,00		62,10
Подвижни натоварвания (влак)	$q_p$		14,00			1,50	21,00

### 2.3 Сеизмични въздействия на натоварванията

Смятано според постановление RD-02-20-2 и в съответствие с EN 1998

Коефициент на значимост  $C = 1,5$

Коефициент на реакция  $R = 0,25$

Сеизмичен коефициент: IX (София)  $K_c = 0,27$

Триене между гърба на конструкцията и насипа  $\mu = 0,35$

Сеизмични въздействия (чл. 155)  $E_k = C \cdot R \cdot K_c \cdot K_h \cdot Q_k$

#### 2.3.1 Сеизмични въздействия на постоянните натоварвания

елемент	гл. център на теж.	дълж. на елем.	деб. на елем.	обемно тегло	собств. тегло	други посто- янни	верти- кално	хоризон- тално	верти- кално	хоризон- тално
id	$h_z$ m	dl. m	d m	$\rho_k$ $\text{kN/m}^3$	$g_{o,k}$ $\text{kN/m}^2$	$g_{s,k}$ $\text{kN/m}^2$	$E_{k,v}$ kN	$E_{k,h}$ kN	$e_{k,v}$ $\text{kN/m}^2$	$e_{k,h}$ $\text{kN/m}^2$
главен таван	8,5	19,0	1	25,0	25,0		23,0	40,1	1,2	2,1
перон	20,0	8,0	0,3	25,0	7,5	2,42	3,6	6,3	0,5	0,8
основна плоча	23,0	19,0	1,0	25,0	25,0		21,3	37,0	1,1	1,9
крайна стена	16,0	13,5	1,0	25,0	25,0		15,7	27,4	1,2	2,0
Стени под перона	21,5	2,3	0,3	25,0	7,5		0,8	1,4	0,3	0,6
Горна част (насип)	4,0	19,0	8,0	22,0	176,0		331,8	116,1	17,5	6,1

### 2.3.2 Сеизмични действия на натоварването от земния натиск за изкопания тунел

- разглеждано според наредба № RD-02-20-2 и съгласно EN 1998

Коефициент на значимост

$$C = 1,5$$

Коефициент на реакция

$$R = 0,25$$

Сеизмичен коефициент: IX (София)

$$K_c = 0,27$$

За целите на определяне на сеизмичното натоварване е разглеждана хомогенна почва на гърба на конструкцията тип песъчлива глина, твърда, F5 MI.

Обемно тегло на почва с естествена влажност

$$\rho = 16,30 \text{ kN/m}^3$$

ъгъл на наклона на прилежащия терен

$$\alpha = 0,0^\circ$$

$$\delta = 16,5^\circ$$

ъгъл на триене между гърба на стената и почвата

$$\theta = 0,0^\circ$$

ъгъл на отклон. на стената спрямо вертикалата

$$\varphi_{ef} = 24,9^\circ$$

ъгъл на вътрешното триене

$$c_{ef} = 56,0 \text{ kPa}$$

Компактност

$$K_a = 0,408$$

$$tg \beta = 0,87 * C * R * K_c / (1 - 0,5 * C * R * K_c) = 0,093$$

$$\beta = 5,301$$

$$z = \sin(\varphi - \alpha - \beta) * \sin(\varphi + \delta) / \cos(\theta - \alpha) * \cos(\theta + \delta + \beta) = 0,2381$$

$$\rho_c * g = \rho * g * (1 - 0,5 * C * R * K_c) / \cos \beta = 15,541$$

$$q_{a,i} = C * \rho_c * g * H_i * \cos^2(\varphi - \theta - \beta) / (\cos^2 \theta * \cos(\varphi + \theta + \beta) * (1 + Z^{0,5})^2)$$

Горен ръб на конструкцията

$$H_1 = 8,00 \text{ m} \quad q_{a,1} = 86,51 \text{ kN/m}^2$$

Влияние на коехезията

$$P_{ca,i} = 2 * c_i * K_{a,i}^{0,5} = 71,56 \text{ kN/m}^2$$

Земен натиск хоризонтална посока

$$q_{a,i} - P_{ca,i} = 14,95 \text{ kN/m}^2$$

Утежняване от полезното натоварване на повърхността

$$q_v = 11,64 \text{ kN/m}^2$$

Земен натиск вертикална посока

$$q_{a,v,i} = \tan d * (q_{a,i} + q_v - P_{ca,i}) = 7,88 \text{ kN/m}^2$$

Долен ръб на конструкцията

$$H_2 = 23,7 \text{ m} \quad q_{a,2} = 256,28 \text{ kN/m}^2$$

Влияние на коехезията

$$P_{ca,i} = 2 * c_i * K_{a,i}^{0,5} = 71,56 \text{ kN/m}^2$$

Земен натиск хоризонтална посока

$$q_{a,i} - P_{ca,i} = 184,72 \text{ kN/m}^2$$

Утежняване от полезното натоварване на повърхността

$$q_v = 15,00 \text{ kN/m}^2$$

Земен натиск вертикална посока

$$q_{a,v,i} = \tan d * (q_{a,i} + q_v - P_{ca,i}) = 59,16 \text{ kN/m}^2$$

### 2.4 Комбинация на натоварванията

Изчисляването на конструкцията е било направено в програмата Fine GEO 5 с натоварвания, зададени с характерните стойности ( $F_k$ ). Проектните стойности  $F_d$  са били получени с умножаване със съответния коефициент  $\gamma$  съгласно комбинаторния предпис, посочен по-долу.

#### 2.4.1 Гранично състояние на издръжливост (ULS, STR)

За проучване на въздействията при гранично състояние на издръжливост е бил използван решаващия резултат от уравненията 6.10a и 6.10b съгласно EN 1990.

$$\text{уравнение 6.10a: } \sum \gamma_{G,j} G_{k,j} + \gamma_{Q,1} \Psi_{0,1} Q_{k,1} + \sum \gamma_{Q,i} \Psi_{0,i} Q_{k,i}$$

$$\text{уравнение 6.10b: } \sum \xi \gamma_{G,j} G_{k,j} + \gamma_{Q,1} Q_{k,1} + \sum \gamma_{Q,i} \Psi_{0,i} Q_{k,i}$$

стойностите на коефициентите са били определени по следния начин:

$\gamma_{G,j} = 1,35$  ..... за неблагоприятно действащи постоянни натоварвания  
 $1,00$  ..... за благоприятно действащи постоянни натоварвания

$\gamma_{Q,i} = 1,50$  ..... за неблагоприятно действащи променливи натоварвания  
 $0,00$  ..... за благоприятно действащи променливи натоварвания

$\Psi_{0,i} = 0,7$  ..... съгласно таблица A1.1

#### 2.4.2 Гранично състояние на използваемост (SLS)

В рамките на граничните състояния на използваемост са били проверени огъванията на отделните елементи от въздействията на квазипостоянната комбинация от натоварвания.

$$\text{quasi-permanent combination: } \sum G_{k,j} + \sum \Psi_{2,i} Q_{k,i}$$

$G_{k,j}$  ..... натоварване постоянно

$\Psi_{2,i} Q_{k,i}$  ..... комбинационна стойност на случаите натоварвания

#### 2.4.3 Сеизмични комбинации

$$E_d = \sum G_{k,j} + A_{ed} + \sum \Psi_{2,i} Q_{k,i} \quad \Psi_{21} = 0,3-0,6 \text{ съгласно табл. A1.1}$$

#### 2.4.4 Загуба на статичното равновесие (EQU)

За проучване на въздействията на натоварванията в гранично състояние на загубата на статичното равновесие е било използвано уравнението 6.10 (EQU) съгласно EN 1990.

$$\text{уравнение 6.10: } \sum \gamma_{G,j} G_{k,j} + \gamma_{Q,1} Q_{k,1} + \sum \gamma_{Q,i} \Psi_{0,i} Q_{k,i}$$

стойностите на коефициентите са били определени по следния начин:

$\gamma_{G,j} = 1,35$  ..... за неблагоприятно действащи постоянни натоварвания  
 $0,90$  ..... за благоприятно действащи постоянни натоварвания

$\gamma_{Q,i} = 1,50$  ..... за неблагоприятно действащи променливи натоварвания  
 $0,00$  ..... за благоприятно действащи променливи натоварвания

$\Psi_{0,i} = 0,7$  ..... съгласно таблица A1.1

## 3. ПАРАМЕТРИ НА ПОЧВИТЕ

1-2

Material model : Modified Mohr - Coulomb  
Unit weight :  $\gamma = 18,50 \text{ kN/m}^3$   
Poisson's ratio :  $\nu = 0,35$

Elastic modulus :  $E = 15,00 \text{ MPa}$   
 Biot parameter :  $\alpha = 1,00$   
 Coeff. of thermal expansion :  $\alpha_t = 0,000012 \text{ 1/}^{\circ}\text{C}$   
 Angle of internal friction :  $\varphi_{\text{eff}} = 17,00 \text{ }^{\circ}$   
 Cohesion of soil :  $c_{\text{eff}} = 20,00 \text{ kPa}$   
 Dilation angle :  $\psi = 0,00 \text{ }^{\circ}$   
 Saturated unit weight :  $\gamma_{\text{sat}} = 19,50 \text{ kN/m}^3$

**3**  
 Material model : Modified Mohr - Coulomb  
 Unit weight :  $\gamma = 18,80 \text{ kN/m}^3$   
 Poisson's ratio :  $\nu = 0,35$   
 Elastic modulus :  $E = 32,00 \text{ MPa}$   
 Biot parameter :  $\alpha = 1,00$   
 Coeff. of thermal expansion :  $\alpha_t = 0,000012 \text{ 1/}^{\circ}\text{C}$   
 Angle of internal friction :  $\varphi_{\text{eff}} = 31,00 \text{ }^{\circ}$   
 Cohesion of soil :  $c_{\text{eff}} = 24,00 \text{ kPa}$   
 Dilation angle :  $\psi = 11,00 \text{ }^{\circ}$   
 Saturated unit weight :  $\gamma_{\text{sat}} = 19,80 \text{ kN/m}^3$

**5**  
 Material model : Modified Mohr - Coulomb  
 Unit weight :  $\gamma = 19,00 \text{ kN/m}^3$   
 Poisson's ratio :  $\nu = 0,35$   
 Elastic modulus :  $E = 30,50 \text{ MPa}$   
 Biot parameter :  $\alpha = 1,00$   
 Coeff. of thermal expansion :  $\alpha_t = 0,000012 \text{ 1/}^{\circ}\text{C}$   
 Angle of internal friction :  $\varphi_{\text{eff}} = 21,50 \text{ }^{\circ}$   
 Cohesion of soil :  $c_{\text{eff}} = 36,00 \text{ kPa}$   
 Dilation angle :  $\psi = 0,00 \text{ }^{\circ}$   
 Saturated unit weight :  $\gamma_{\text{sat}} = 20,00 \text{ kN/m}^3$

**7**  
 Material model : Modified Mohr - Coulomb  
 Unit weight :  $\gamma = 19,00 \text{ kN/m}^3$   
 Poisson's ratio :  $\nu = 0,35$   
 Elastic modulus :  $E = 54,80 \text{ MPa}$   
 Biot parameter :  $\alpha = 1,00$   
 Coeff. of thermal expansion :  $\alpha_t = 0,000012 \text{ 1/}^{\circ}\text{C}$   
 Angle of internal friction :  $\varphi_{\text{eff}} = 38,00 \text{ }^{\circ}$   
 Cohesion of soil :  $c_{\text{eff}} = 0,00 \text{ kPa}$   
 Dilation angle :  $\psi = 13,00 \text{ }^{\circ}$   
 Saturated unit weight :  $\gamma_{\text{sat}} = 20,00 \text{ kN/m}^3$

**trysková injektáž**  
 Material model : Modified Mohr - Coulomb  
 Unit weight :  $\gamma = 18,50 \text{ kN/m}^3$   
 Poisson's ratio :  $\nu = 0,30$   
 Elastic modulus :  $E = 3000,00 \text{ MPa}$   
 Biot parameter :  $\alpha = 1,00$   
 Coeff. of thermal expansion :  $\alpha_t = 0,000012 \text{ 1/}^{\circ}\text{C}$   
 Angle of internal friction :  $\varphi_{\text{eff}} = 42,00 \text{ }^{\circ}$   
 Cohesion of soil :  $c_{\text{eff}} = 200,00 \text{ kPa}$   
 Dilation angle :  $\psi = 0,00 \text{ }^{\circ}$   
 Saturated unit weight :  $\gamma_{\text{sat}} = 19,50 \text{ kN/m}^3$

**6**  
 Material model : Modified Mohr - Coulomb

Unit weight :  $\gamma = 20,80 \text{ kN/m}^3$   
 Poisson's ratio :  $\nu = 0,35$   
 Elastic modulus :  $E = 41,60 \text{ MPa}$   
 Biot parameter :  $\alpha = 1,00$   
 Coeff. of thermal expansion :  $\alpha_t = 0,000012 \text{ 1/}^{\circ}\text{C}$   
 Angle of internal friction :  $\varphi_{\text{eff}} = 29,80 \text{ }^{\circ}$   
 Cohesion of soil :  $c_{\text{eff}} = 53,30 \text{ kPa}$   
 Dilation angle :  $\psi = 0,00 \text{ }^{\circ}$   
 Saturated unit weight :  $\gamma_{\text{sat}} = 21,80 \text{ kN/m}^3$

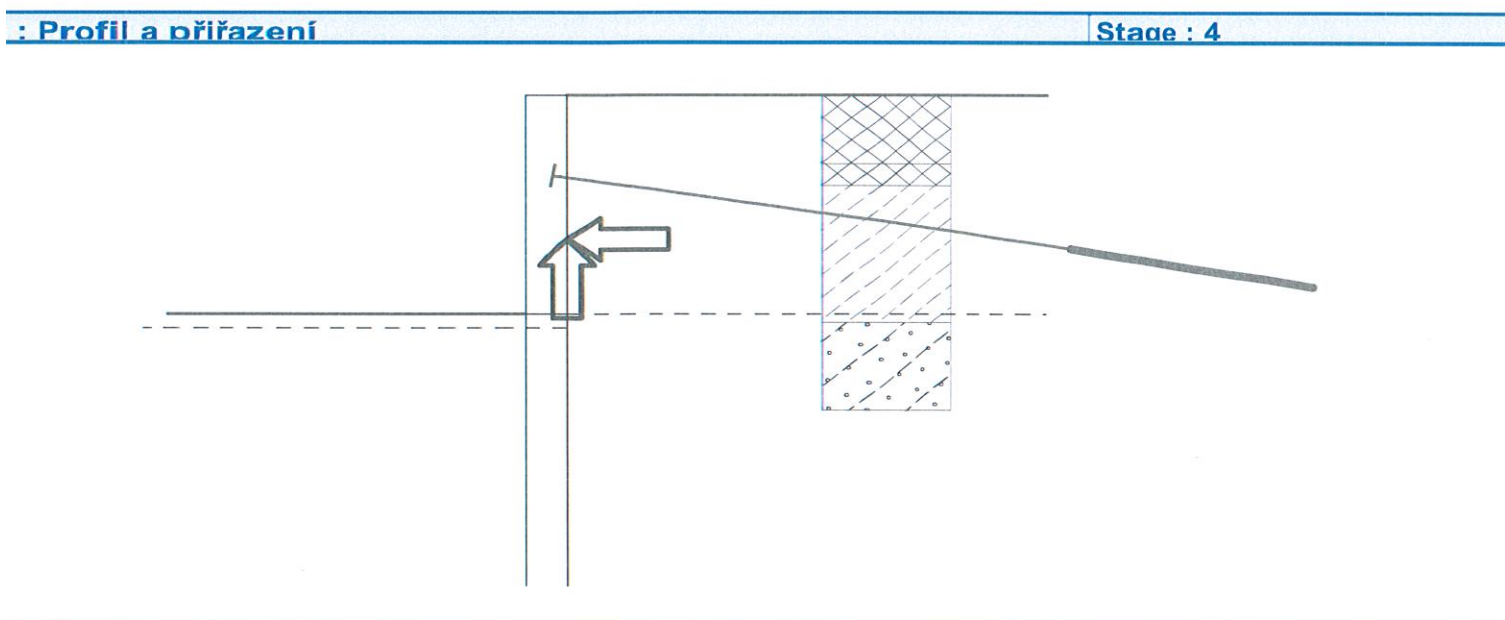
**rozpadly primer**  
 Material model : Modified Mohr - Coulomb  
 Unit weight :  $\gamma = 23,00 \text{ kN/m}^3$   
 Poisson's ratio :  $\nu = 0,49$   
 Elastic modulus :  $E = 30,00 \text{ MPa}$   
 Biot parameter :  $\alpha = 1,00$   
 Coeff. of thermal expansion :  $\alpha_t = 0,000012 \text{ 1/}^{\circ}\text{C}$   
 Angle of internal friction :  $\varphi_{\text{eff}} = 0,01 \text{ }^{\circ}$   
 Cohesion of soil :  $c_{\text{eff}} = 100,00 \text{ kPa}$   
 Dilation angle :  $\psi = 0,00 \text{ }^{\circ}$   
 Saturated unit weight :  $\gamma_{\text{sat}} = 24,00 \text{ kN/m}^3$

**Jet injektage**  
 Material model : Mohr - Coulomb  
 Unit weight :  $\gamma = 18,50 \text{ kN/m}^3$   
 Poisson's ratio :  $\nu = 0,30$   
 Elastic modulus :  $E = 3000,00 \text{ MPa}$   
 Biot parameter :  $\alpha = 1,00$   
 Coeff. of thermal expansion :  $\alpha_t = 0,000012 \text{ 1/}^{\circ}\text{C}$   
 Angle of internal friction :  $\varphi_{\text{eff}} = 42,00 \text{ }^{\circ}$   
 Cohesion of soil :  $c_{\text{eff}} = 200,00 \text{ kPa}$   
 Dilation angle :  $\psi = 0,00 \text{ }^{\circ}$   
 Saturated unit weight :  $\gamma_{\text{sat}} = 19,50 \text{ kN/m}^3$

# ЦЕНКА НА КОТЛОВАНА

## Подпорно кофражиране

Оценката на котлована е била направена в общо 3 строителни фази. За прегледност по-късно посочени само решаващите строителни фази:



### Sheeting structure verification data

#### Geometry of structure

Structure length = 36,00 m

Structure section No. 1 - length 8,00 m

Structure: Steel I-section

section: I(IPN) 360

section spacing a = 1,50 m

of press. reduc. in front of wall = 1,00

Cross-section

$$A = 6,47E-03 \text{ m}^2/\text{m}$$

Moment of inertia

$$I = 1,31E-04 \text{ m}^4/\text{m}$$

modulus

$$E = 210000,00 \text{ MPa}$$

modulus

$$G = 81000,00 \text{ MPa}$$

Structure section No. 2 - length 28,00 m

Structure: Reinforced concrete rectangular wall

Grade: CSN 73 1201 R

Steel: B 20

section thickness h = 1,20 m

of press. reduc. in front of wall = 1,00

Cross-section

$$A = 1,20E+00 \text{ m}^2/\text{m}$$

Moment of inertia

$$I = 1,44E-01 \text{ m}^4/\text{m}$$

modulus

$$E = 27000,00 \text{ MPa}$$

modulus

$$G = 11340,00 \text{ MPa}$$

Reaction of subsoil reaction determined according to the Schmitt theory.

### Input data (Stage of construction 3)

#### Input anchors

Number	New anchor	Depth z [m]	Length l [m]	Root l_k [m]	Slope alpha [°]	Spacing b [m]
1	NO	3,00	15,00	8,00	10,00	3,00

Number	Diameter d [mm]	Area A [mm²]	Modulus E [MPa]	Post-stressing	Force F [kN]
1	32,9	210000,00			759,96

### Analysis results (Stage of construction 3)

Maximum shear force = 148,66 kN/m

Maximum moment = 119,69 kNm/m

Maximum displacement = 13,5 mm

#### Anchors forces

Number	Depth [m]	Displacement [mm]	Anchor force [kN]
1	3,00	-1,3	759,96

### Internal stability of anchor system - partial results

$E_A = 208,69 \text{ kN/m}$   $\delta = 5,21^\circ$

Depth of theoretical footing under bottom of the pit  $H_0 = 2,52 \text{ m}$

Row of anchors	$E_{A1}$ [kN/m]	$\delta_1$ [°]	G [kN/m]	C [kN/m]	$\theta$ [°]	Included rows of anchors	Q [kN/m]	F [kN/m]	$F_{K_{MAX}}$ [kN]
1	79,60	8,16	2801,19	581,42	12,71		4940,88	1301,07	3903,22

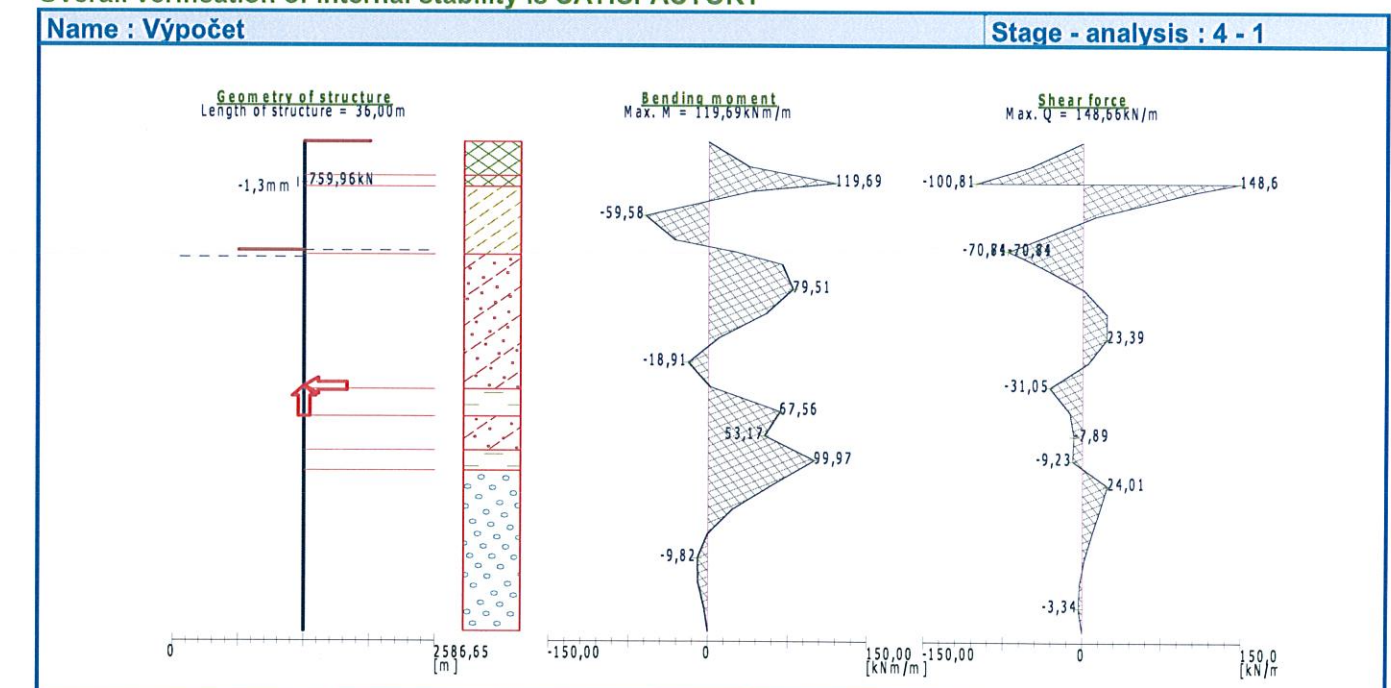
### Internal stability of anchor system check

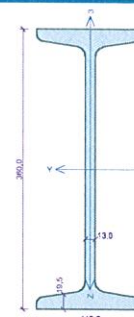
No.	Anchor force [kN]	Max.allow.force in anchor [kN]	Factor of safety
1	759,96	3903,22	5,14

Decisive anchor row : 1

Required safety fact.  $FS = 1,50 < 5,14 = FS_{minim}$ .

Overall verification of internal stability is SATISFACTORY



**Рез 1**


**Calculation standard** EN 1993-1-1  
Calculation in accordance with Czech national annex.

**Partial safety factors for steel structures:**

Cross-section resistance factor  $\gamma_{M0}$  = 1,000  
Stability check resistance factor  $\gamma_{M1}$  = 1,000  
Perforated cross-section resistance factor  $\gamma_{M2}$  = 1,250

**Section I(IPN) 360**

Material: EN 10025 : Fe 360

**Internal forces in system of cross-section coordinates**

Load with maximal utilization

Zat. případ 1  
N = 0,000 kN  
V<sub>z</sub> = 200,700 kN  
V<sub>y</sub> = 0,000 kN  
T<sub>t</sub> = 0,000 kNm  
T<sub>w</sub> = 0,000 kNm

M<sub>y</sub> = 161,950 kNm  
M<sub>z</sub> = 0,000 kNm  
B = 0,000 kNm<sup>2</sup>

**Buckling parameters**

Length: 8,000 m  
L<sub>z</sub> = 8,000 m  
L<sub>y</sub> = 8,000 m  
L<sub>w</sub> = 8,000 m

**Results**

Decisive load: Zat. případ 1

Cross-section class: 1

Check of shear due to shear force V<sub>z</sub>:

200,700 kN < 662,580 kN **Pass**

Internal forces: N = 0,000 kN; M<sub>y</sub> = 161,950 kNm; M<sub>z</sub> = 0,000 kNm

Critical combination check: simple tension and bending moment:

Resistances: M<sub>y,R</sub> = 298,829 kNm

| 0,000 + 0,542 + 0,000 | = | 0,542 | < 1 **Pass**

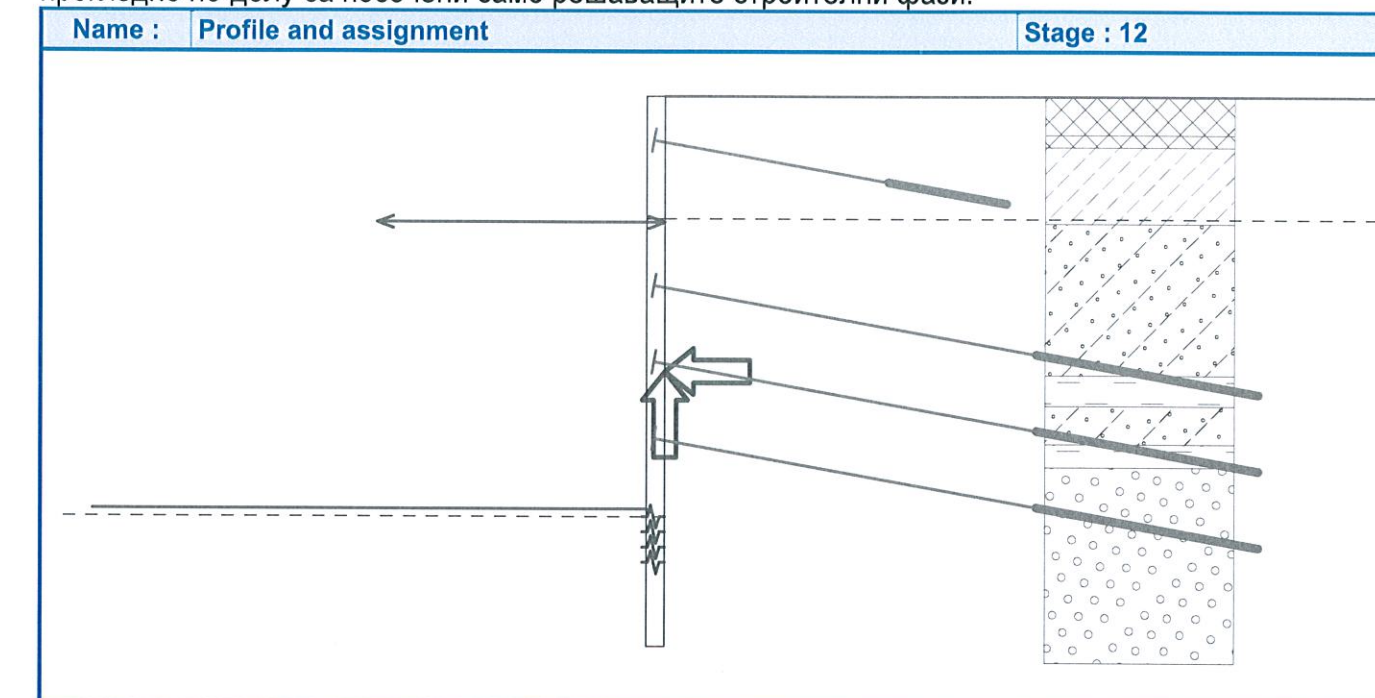
Member slenderness: 275,7

**Section ok**

**PASS**

## 4.2 Милански стени

Оценката на строителните ями е била извършена в общо 12 строителни фази. За по-погледно по-долу са посочени само решаващите строителни фази.


**Input anchors**

Number	New anchor	Depth z [m]	Length l [m]	Root l <sub>k</sub> [m]	Slope α [°]	Spacing b [m]
1	NO	3,00	15,00	8,00	10,00	3,00
2	NO	12,50	25,00	15,00	10,00	2,50
3	NO	17,50	25,00	15,00	10,00	2,50
4	NO	22,50	25,00	15,00	10,00	2,50

Number	Diameter d [mm]	Area A [mm <sup>2</sup> ]	Modulus E [MPa]	Post-stressing	Force F [kN]
1	32,9		210000,00		762,17
2	38,0		210000,00		1140,38
3	38,0		210000,00		1143,37
4	38,0		210000,00		1048,31

**Analysis results (Stage of construction 12)**

Maximum shear force = 1695,91 kN/m

Maximum moment = 3368,37 kNm/m

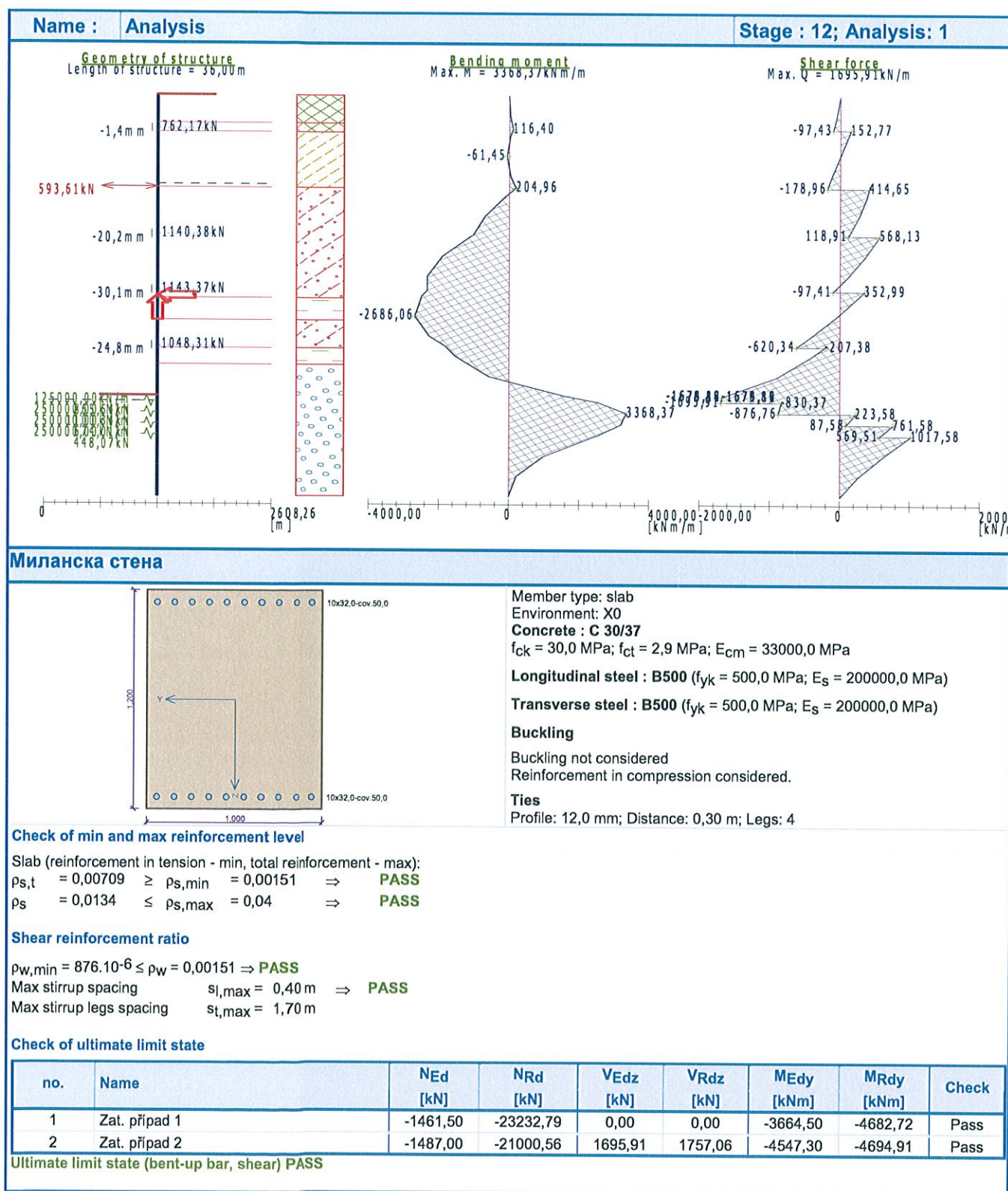
Maximum displacement = 30,3 mm

**Reactions in supports**

Number	Depth [m]	Displacement [mm]	Reaction [kN]
1	27,50	-6,3	865,54
2	28,50	-4,6	1100,34
3	29,50	-3,6	674,01
4	30,50	-3,2	448,07

**Anchors forces**

Number	Depth [m]	Displacement [mm]	Anchor force [kN]
1	3,00	-1,4	762,17
2	12,50	-20,2	1140,38
3	17,50	-30,1	1143,37
4	22,50	-24,8	1048,31



## 5. ОЦЕНКА НА КОНСТРУКЦИЯТА

### 5.1 Вътрешни сили

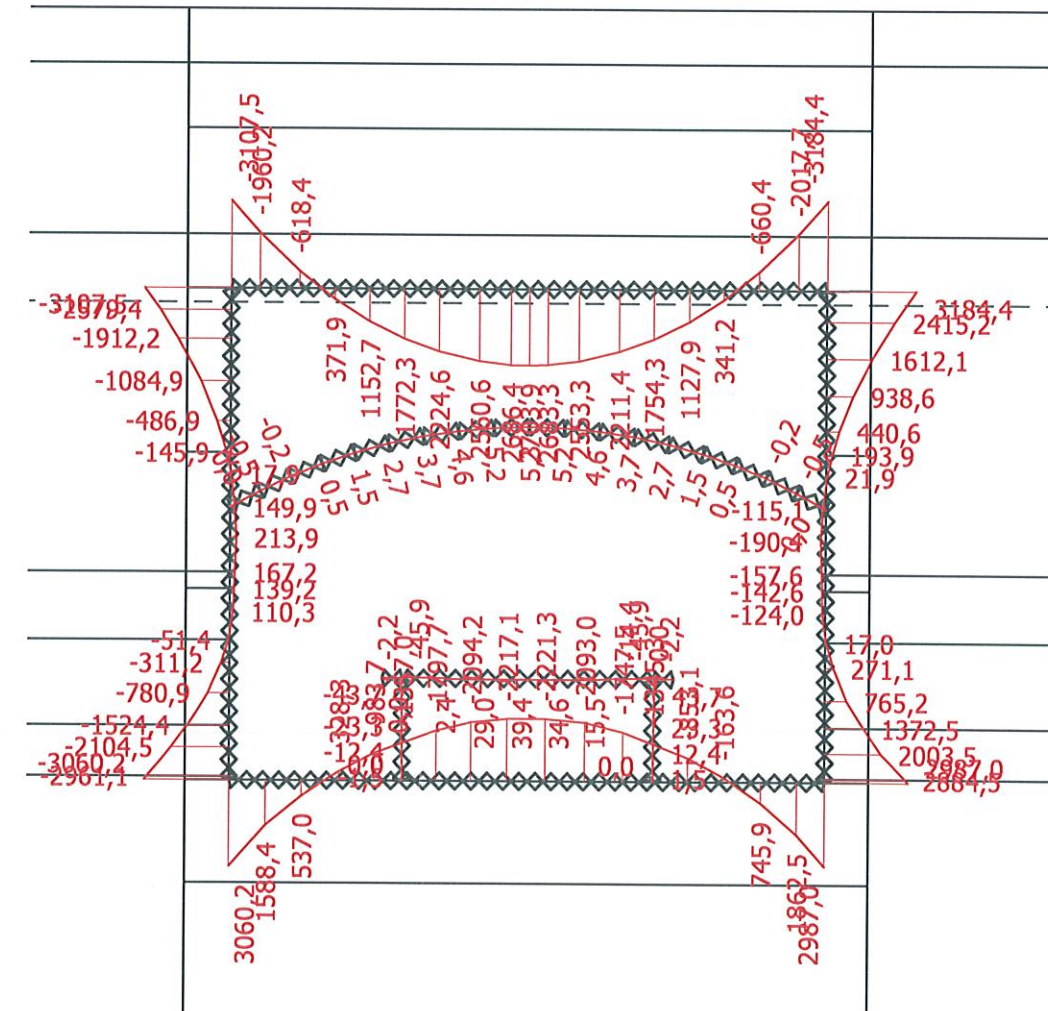
Статични изчисления са били извършени за всички решаващи напречни сечения на изкопания тунел и рампата. За прегледност е посочено само решаващото напречно сечение с дължина 1,0 м.

Изчисленията предполагат комплектен пренос на натоварването от земния натиск на окончателната конструкция на станцията, следователно без взаимно въздействие на подземните стени.

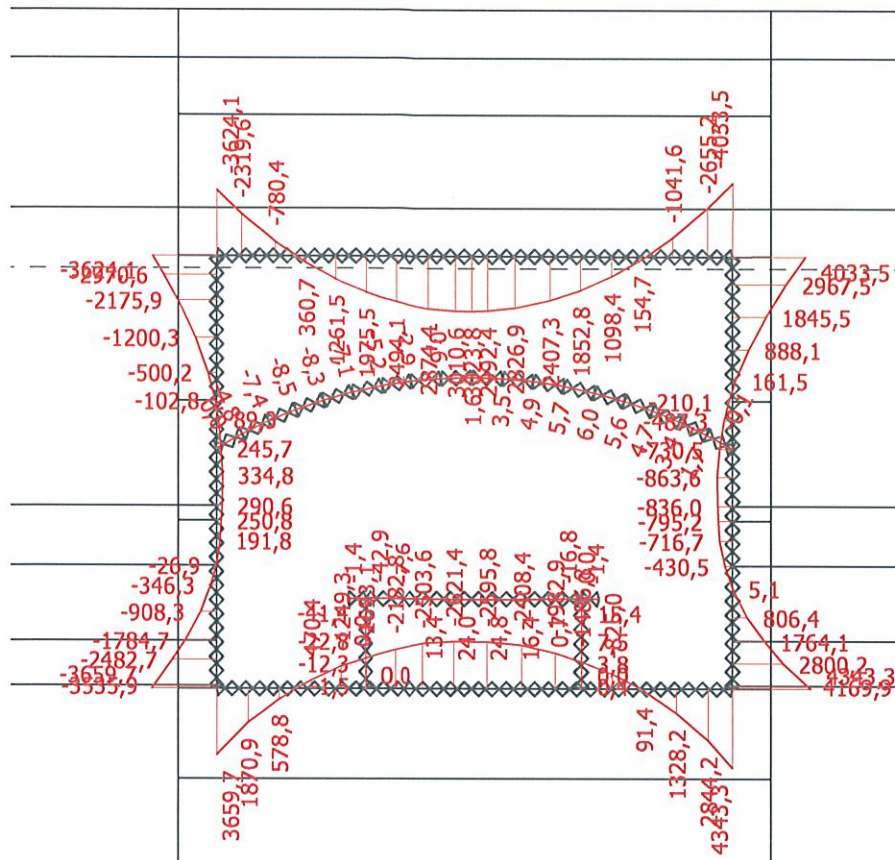
Освен това е посочено и развитието на вътрешните сили в конструкцията, определени в програмата Fine Geo 5.

### 5.2 Издълбана станция

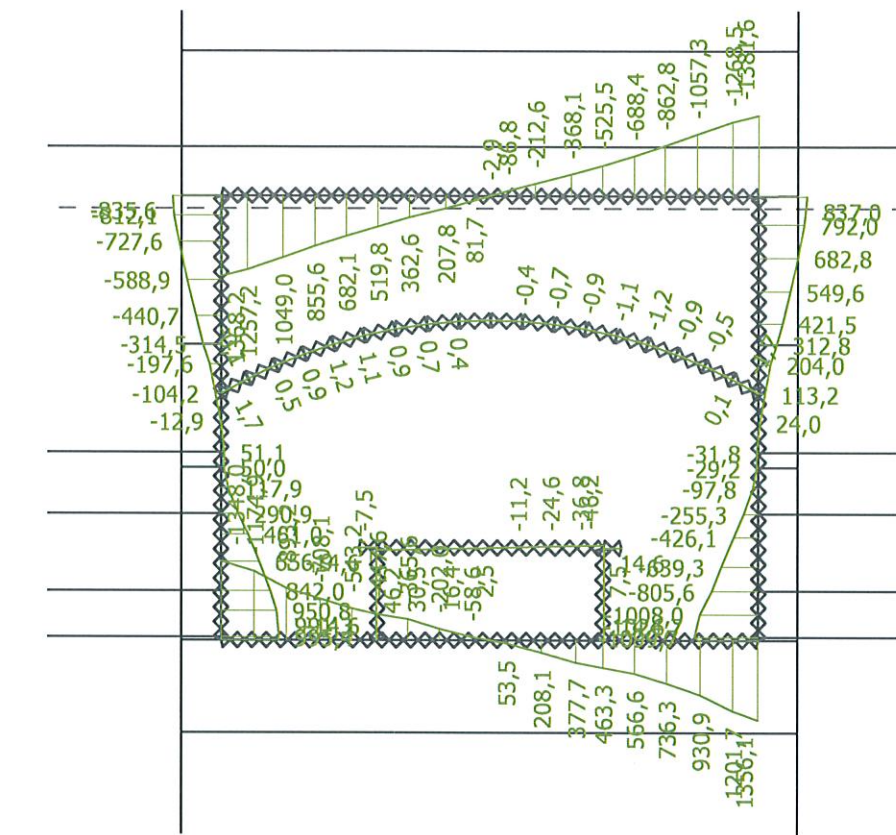
$My,d$  [kNm] – ULS



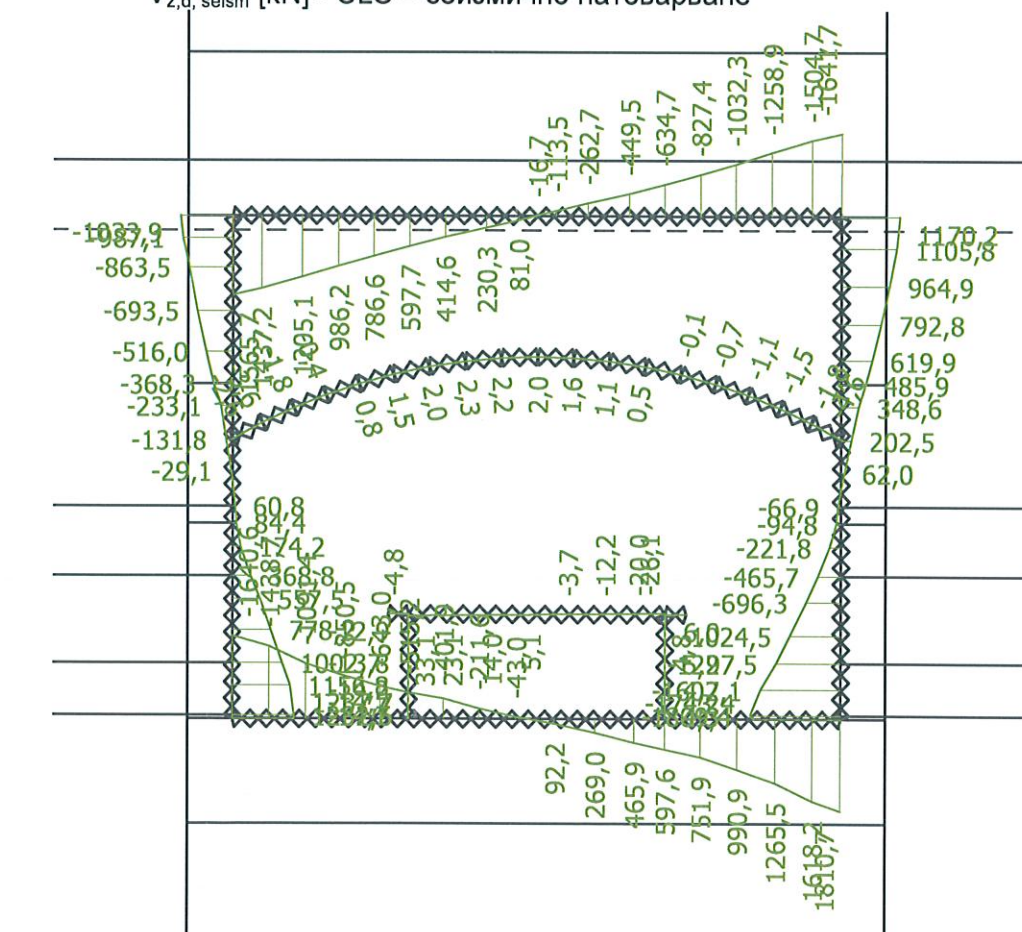
*My,d, seism [kNm] - ULS - сеизмично натоварване*



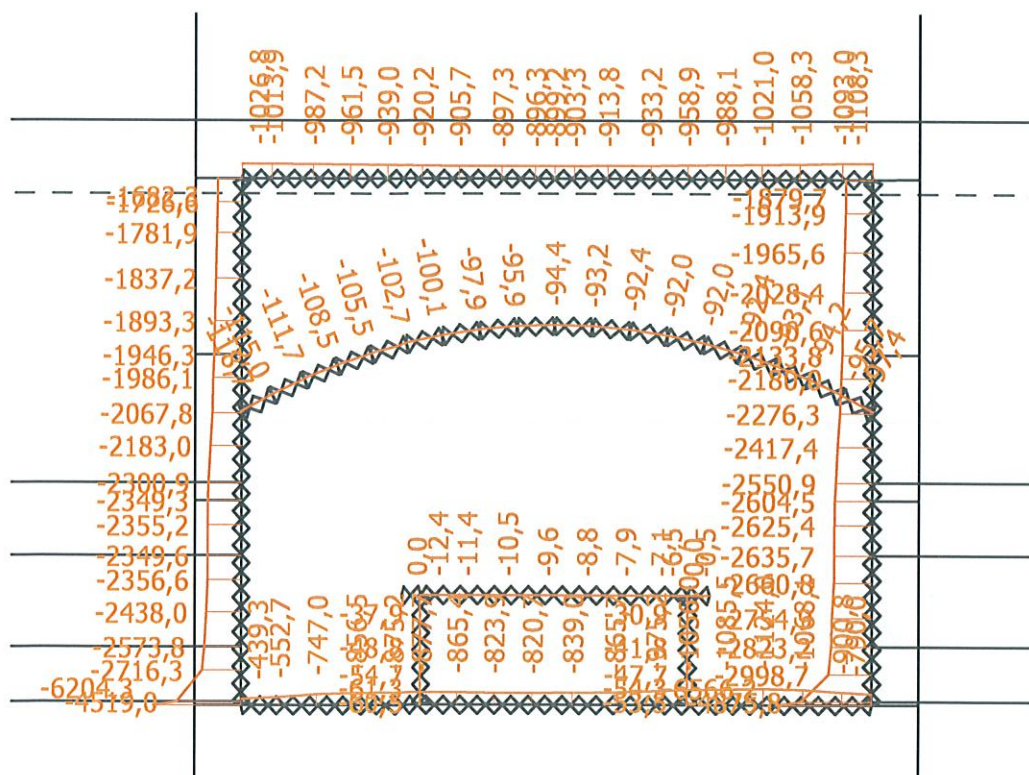
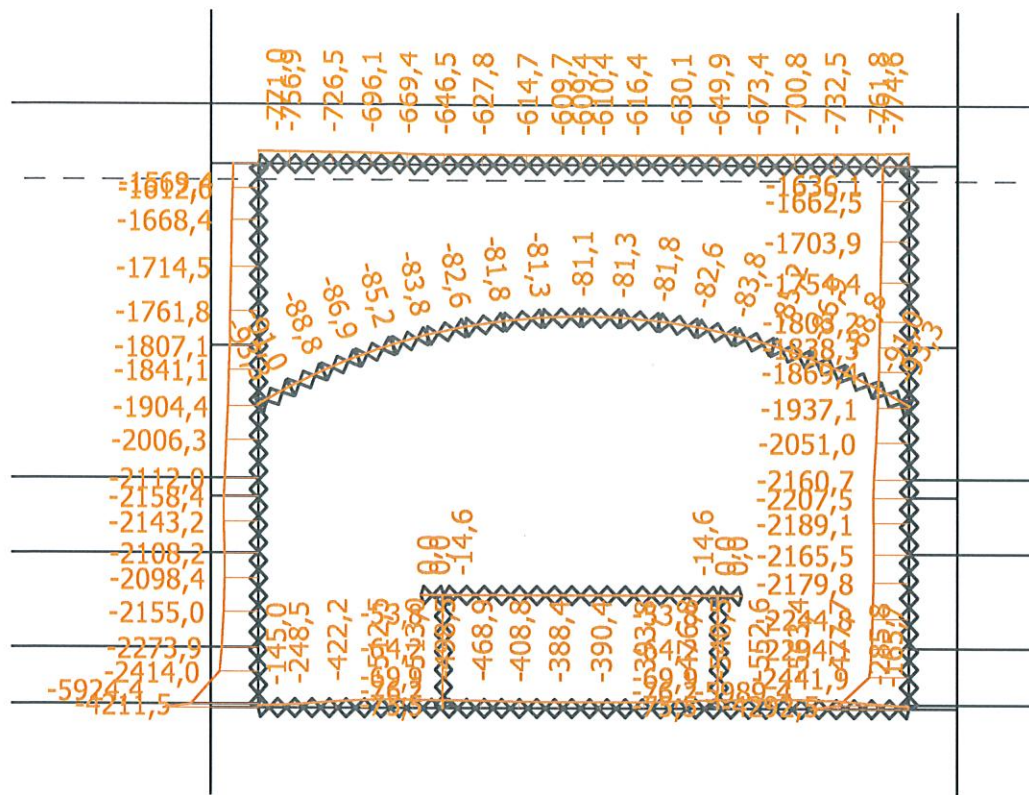
$V_{z,d}$  [kN] - ULS



$V_{z,d,seism}$  [kN] - ULS – сейзмично натоварване



$N_{x,d}$  [kN] - UL



### 5.3 Оценка на решаващите сечения

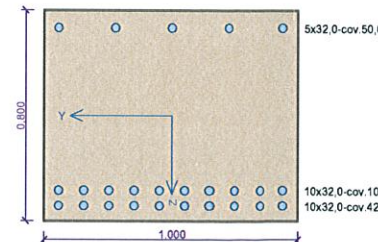
станция 19		Вътрешни сили – Характерни натоварвания			Комбинация постоянни + случайни			Комбинация постоянни + земетресение					
		M kNm	N kN	V kNm	M kNm	N kN	V kNm						
Таванна плоча	ъгъл	-3 184	-775	-1 382	-4 034	-1 108	-1 642	Таванна плоча	Среда	До тавана			
	Среда	2 704	-609	0	3 024	-899	-17						
Стена	До тавана	-3 184	-1 636	837	-4 034	-1 880	1 170	Стена	Среда	До осн. плоча			
	Среда	214	-2 051	-29	864	-2 551	-67						
	До осн. плоча	-3 060	-2 442	-1 008	-4 343	-2 999	-1 602						
Основна плоча	ъгъл	3 060	-145	-1 348	4 343	-790	1 811	Основна плоча	Среда	До осн. плоча			
	Среда	-2 221	-390	-59	-2 621	-821	-43						

Вътрешни сили – Проектно натоварване		
станция 19	Комбинация постоянни + случайни	Комбинация постоянни + земетресение

		случайни			земетресение		
		M	N	V	M	N	V
		kNm	kN	kN	kNm	kN	kN
Таванна плоча	ъгъл	-4 299	-1 046	-1 865	-5 148	-1 379	-2 125
	Среда	3 650	-823	0	3 970	-1 112	-17
Стена	До тавана	-4 299	-2 209	1 130	-5 148	-2 452	1 463
	Среда	289	-2 769	-39	938	-3 269	-77
	До осн. плоча	-4 131	-3 297	-1 361	-5 414	-3 853	-1 955
Основна плоча	ъгъл	4 131	-196	-1 820	5 414	-841	1 339
	Среда	-2 999	-527	-79	-3 399	-957	-64

### 5.3.1 Границно състояние на издръжливост – Издълбан тунел

#### middle of the ceiling



Member type: slab  
Environment: X0  
**Concrete : C 50/60**  
 $f_{ck} = 50,0 \text{ MPa}$ ;  $f_{ct} = 4,1 \text{ MPa}$ ;  $E_{cm} = 37000,0 \text{ MPa}$   
**Longitudinal steel : B500** ( $f_{yk} = 500,0 \text{ MPa}$ ;  $E_s = 200000,0 \text{ MPa}$ )  
**Transverse steel : B500** ( $f_{yk} = 500,0 \text{ MPa}$ ;  $E_s = 200000,0 \text{ MPa}$ )  
**Buckling**  
Buckling not considered  
Reinforcement in compression considered.  
Section without shear reinforcement.

#### Check of min and max reinforcement level

Slab (reinforcement in tension - min, total reinforcement - max):  
 $\rho_{s,t} = 0,0226 \geq \rho_{s,min} = 0,00213 \Rightarrow \text{PASS}$   
 $\rho_s = 0,0251 \leq \rho_{s,max} = 0,04 \Rightarrow \text{PASS}$

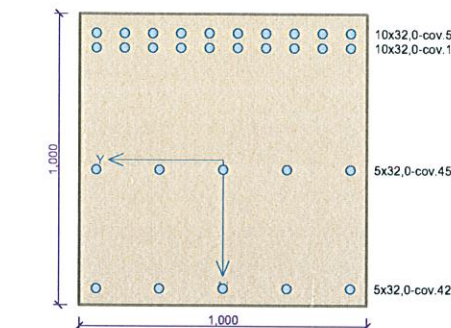
#### Check of ultimate limit state

no.	Name	$N_{Ed}$ [kN]	$N_{Rd}$ [kN]	$V_{Edz}$ [kN]	$V_{Rdz}$ [kN]	$M_{Edy}$ [kNm]	$M_{Rdy}$ [kNm]	Check
1	Zat. případ 1	-823,00	-16057,36	0,00	0,00	3650,00	4665,14	Pass
2	Zat. případ 2	-1112,00	-14401,79	-17,00	-775,28	3970,00	4721,92	Pass

Ultimate limit state (bent-up bar, shear) PASS

Overall section check PASS

#### the ceiling at the wall



Member type: slab  
Environment: X0  
**Concrete : C 50/60**  
 $f_{ck} = 50,0 \text{ MPa}$ ;  $f_{ct} = 4,1 \text{ MPa}$ ;  $E_{cm} = 37000,0 \text{ MPa}$   
**Longitudinal steel : B500** ( $f_{yk} = 500,0 \text{ MPa}$ ;  $E_s = 200000,0 \text{ MPa}$ )  
**Transverse steel : B500** ( $f_{yk} = 500,0 \text{ MPa}$ ;  $E_s = 200000,0 \text{ MPa}$ )  
**Buckling**  
Buckling not considered  
Reinforcement in compression considered.  
**Ties**  
Profile: 12,0 mm; Distance: 0,30 m; Legs: 4  
**Bent-up bars**  
Profile: 32,0 mm; Count: 1; Pitch: 45,00 °; Distance: 0,50 m

#### Check of min and max reinforcement level

Slab (reinforcement in tension - min, total reinforcement - max):  
 $\rho_{s,t} = 0,0177 \geq \rho_{s,min} = 0,00213 \Rightarrow \text{PASS}$   
 $\rho_s = 0,0241 \leq \rho_{s,max} = 0,04 \Rightarrow \text{PASS}$

#### Shear reinforcement ratio

$\rho_w, \min = 0,00113 \leq \rho_w = 0,00378 \Rightarrow \text{PASS}$   
Max stirrup spacing  $s_{l,\max} = 0,40 \text{ m} \Rightarrow \text{PASS}$   
Max stirrup legs spacing  $s_{t,\max} = 1,36 \text{ m}$   
Max bent-up spacing  $s_{b,\max} = 0,91 \text{ m} \Rightarrow \text{PASS}$

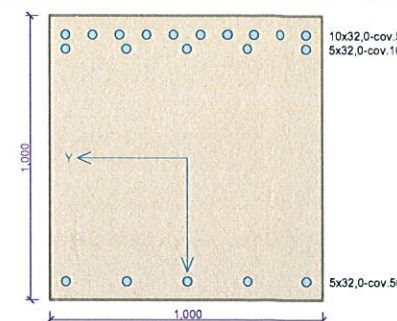
#### Check of ultimate limit state

no.	Name	$N_{Ed}$ [kN]	$N_{Rd}$ [kN]	$V_{Edz}$ [kN]	$V_{Rdz}$ [kN]	$M_{Edy}$ [kNm]	$M_{Rdy}$ [kNm]	Check
1	Zat. případ 1	-1046,00	-25928,22	-1865,00	-2409,48	-4299,00	-6608,67	Pass
2	Zat. případ 2	-1379,00	-22598,89	-2125,00	-2415,82	-5148,00	-6664,93	Pass

Ultimate limit state (bent-up bar, shear) PASS

Overall section check PASS

## section of the wall 1



Member type: slab  
Environment: X0  
**Concrete : C 50/60**  
 $f_{ck} = 50,0 \text{ MPa}$ ;  $f_{ct} = 4,1 \text{ MPa}$ ;  $E_{cm} = 37000,0 \text{ MPa}$   
**Longitudinal steel : B500** ( $f_{yk} = 500,0 \text{ MPa}$ ;  $E_s = 200000,0 \text{ MPa}$ )  
**Transverse steel : B500** ( $f_{yk} = 500,0 \text{ MPa}$ ;  $E_s = 200000,0 \text{ MPa}$ )  
**Buckling**  
Buckling not considered  
Reinforcement in compression considered.  
**Ties**  
Profile: 12,0 mm; Distance: 0,30 m; Legs: 5

## Check of min and max reinforcement level

Slab (reinforcement in tension - min, total reinforcement - max):  
 $\rho_{s,t} = 0,0132 \geq \rho_{s,min} = 0,00213 \Rightarrow \text{PASS}$   
 $\rho_s = 0,0161 \leq \rho_{s,max} = 0,04 \Rightarrow \text{PASS}$

## Shear reinforcement ratio

$\rho_{w,min} = 0,00113 \leq \rho_w = 0,00188 \Rightarrow \text{PASS}$   
Max stirrup spacing  $s_{l,max} = 0,40 \text{ m} \Rightarrow \text{PASS}$   
Max stirrup legs spacing  $s_{t,max} = 1,40 \text{ m}$

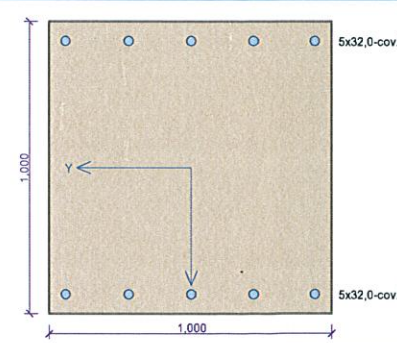
## Check of ultimate limit state

no.	Name	N <sub>Ed</sub> [kN]	N <sub>Rd</sub> [kN]	V <sub>Edz</sub> [kN]	V <sub>Rdz</sub> [kN]	M <sub>Edy</sub> [kNm]	M <sub>Rdy</sub> [kNm]	Check
1	Zat. případ 1	-2209,00	-24390,33	1130,00	1707,75	-4299,00	-5359,02	Pass
2	Zat. případ 2	-2452,00	-21008,30	1463,00	1701,59	-5148,00	-5432,47	Pass

Ultimate limit state (bent-up bar, shear) PASS

Overall section check PASS

## section of the wall 2



Member type: slab  
Environment: X0  
**Concrete : C 50/60**  
 $f_{ck} = 50,0 \text{ MPa}$ ;  $f_{ct} = 4,1 \text{ MPa}$ ;  $E_{cm} = 37000,0 \text{ MPa}$   
**Longitudinal steel : B500** ( $f_{yk} = 500,0 \text{ MPa}$ ;  $E_s = 200000,0 \text{ MPa}$ )  
**Transverse steel : B500** ( $f_{yk} = 500,0 \text{ MPa}$ ;  $E_s = 200000,0 \text{ MPa}$ )  
**Buckling**  
Buckling not considered  
Reinforcement in compression considered.  
**Ties**  
Profile: 12,0 mm; Distance: 0,30 m; Legs: 4

## Check of min and max reinforcement level

Slab (reinforcement in tension - min, total reinforcement - max):  
 $\rho_{s,t} = 0,00431 \geq \rho_{s,min} = 0,00213 \Rightarrow \text{PASS}$   
 $\rho_s = 0,00804 \leq \rho_{s,max} = 0,04 \Rightarrow \text{PASS}$

## Shear reinforcement ratio

$\rho_{w,min} = 0,00113 \leq \rho_w = 0,00151 \Rightarrow \text{PASS}$   
Max stirrup spacing  $s_{l,max} = 0,40 \text{ m} \Rightarrow \text{PASS}$   
Max stirrup legs spacing  $s_{t,max} = 1,40 \text{ m}$

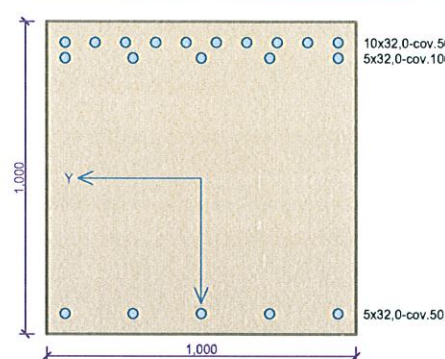
## Check of ultimate limit state

no.	Name	N <sub>Ed</sub> [kN]	N <sub>Rd</sub> [kN]	V <sub>Edz</sub> [kN]	V <sub>Rdz</sub> [kN]	M <sub>Edy</sub> [kNm]	M <sub>Rdy</sub> [kNm]	Check
1	Zat. případ 1	-2769,00	-36135,96	-39,00	-1440,74	289,00	2823,28	Pass
2	Zat. případ 2	-3269,00	-34534,57	-77,00	-1434,42	938,00	3019,64	Pass

Ultimate limit state (bent-up bar, shear) PASS

Overall section check PASS

## section of the wall 3



Member type: slab  
Environment: X0  
**Concrete : C 50/60**  
 $f_{ck} = 50,0 \text{ MPa}$ ;  $f_{ct} = 4,1 \text{ MPa}$ ;  $E_{cm} = 37000,0 \text{ MPa}$   
**Longitudinal steel : B500** ( $f_{yk} = 500,0 \text{ MPa}$ ;  $E_s = 200000,0 \text{ MPa}$ )  
**Transverse steel : B500** ( $f_{yk} = 500,0 \text{ MPa}$ ;  $E_s = 200000,0 \text{ MPa}$ )  
**Buckling**  
Buckling not considered  
Reinforcement in compression considered.  
**Ties**  
Profile: 12,0 mm; Distance: 0,30 m; Legs: 4  
**Bent-up bars**  
Profile: 32,0 mm; Count: 1; Pitch: 45,00 °; Distance: 0,50 m

## Check of min and max reinforcement level

Slab (reinforcement in tension - min, total reinforcement - max):  
 $\rho_{s,t} = 0,0132 \geq \rho_{s,min} = 0,00213 \Rightarrow \text{PASS}$   
 $\rho_s = 0,0161 \leq \rho_{s,max} = 0,04 \Rightarrow \text{PASS}$

## Shear reinforcement ratio

$\rho_{w,min} = 0,00113 \leq \rho_w = 0,00378 \Rightarrow \text{PASS}$   
Max stirrup spacing  $s_{l,max} = 0,40 \text{ m} \Rightarrow \text{PASS}$   
Max stirrup legs spacing  $s_{t,max} = 1,40 \text{ m}$   
Max bent-up spacing  $s_{b,max} = 0,93 \text{ m} \Rightarrow \text{PASS}$

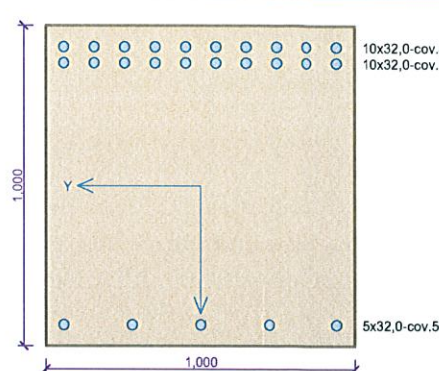
## Check of ultimate limit state

no.	Name	N <sub>Ed</sub> [kN]	N <sub>Rd</sub> [kN]	V <sub>Edz</sub> [kN]	V <sub>Rdz</sub> [kN]	M <sub>Edy</sub> [kNm]	M <sub>Rdy</sub> [kNm]	Check
1	Zat. případ 1	-3297,00	-24998,73	-1361,00	-2762,40	-4131,00	-5676,25	Pass
2	Zat. případ 2	-3853,00	-19832,52	-1955,00	-2956,39	-5414,00	-5826,34	Pass

Ultimate limit state (bent-up bar, shear) PASS

Overall section check PASS

## cut the base plate 1



Member type: slab  
Environment: X0  
Concrete : C 50/60  
 $f_{ck} = 50,0 \text{ MPa}$ ;  $f_{ct} = 4,1 \text{ MPa}$ ;  $E_{cm} = 37000,0 \text{ MPa}$   
Longitudinal steel : B500 ( $f_{yk} = 500,0 \text{ MPa}$ ;  $E_s = 200000,0 \text{ MPa}$ )  
Transverse steel : B500 ( $f_{yk} = 500,0 \text{ MPa}$ ;  $E_s = 200000,0 \text{ MPa}$ )  
Buckling  
Buckling not considered  
Reinforcement in compression considered.  
Ties  
Profile: 12,0 mm; Distance: 0,30 m; Legs: 4  
Bent-up bars  
Profile: 32,0 mm; Count: 1; Pitch: 45,00 °; Distance: 0,50 m

## Check of min and max reinforcement level

Slab (reinforcement in tension - min, total reinforcement - max):  
 $\rho_{s,t} = 0,0177 \geq \rho_{s,min} = 0,00213 \Rightarrow \text{PASS}$   
 $\rho_s = 0,0201 \leq \rho_{s,max} = 0,04 \Rightarrow \text{PASS}$

## Shear reinforcement ratio

$\rho_w, \min = 0,00113 \leq \rho_w = 0,00378 \Rightarrow \text{PASS}$   
Max stirrup spacing  $s_{i,\max} = 0,40 \text{ m} \Rightarrow \text{PASS}$   
Max stirrup legs spacing  $s_{t,\max} = 1,40 \text{ m}$   
Max bent-up spacing  $s_{b,\max} = 0,93 \text{ m} \Rightarrow \text{PASS}$

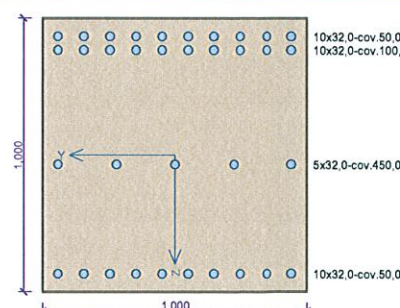
## Check of ultimate limit state

no.	Name	$N_{Ed}$ [kN]	$N_{Rd}$ [kN]	$V_{Edz}$ [kN]	$V_{Rdz}$ [kN]	$M_{Edy}$ [kNm]	$M_{Rdy}$ [kNm]	Check
1	Zat. případ 1	-196,00	-25006,17	-1820,00	-2790,50	-4131,00	-5967,77	Pass
2	Zat. případ 2	-841,00	-20151,18	1339,00	2763,87	-5414,00	-6160,25	Pass

Ultimate limit state (bent-up bar, shear) PASS

Overall section check PASS

## cut the base plate 2



Member type: slab  
Environment: X0  
Concrete : C 50/60  
 $f_{ck} = 50,0 \text{ MPa}$ ;  $f_{ct} = 4,1 \text{ MPa}$ ;  $E_{cm} = 37000,0 \text{ MPa}$   
Longitudinal steel : B500 ( $f_{yk} = 500,0 \text{ MPa}$ ;  $E_s = 200000,0 \text{ MPa}$ )  
Transverse steel : B500 ( $f_{yk} = 500,0 \text{ MPa}$ ;  $E_s = 200000,0 \text{ MPa}$ )  
Buckling  
Buckling not considered  
Reinforcement in compression considered.  
Ties  
Profile: 12,0 mm; Distance: 0,30 m; Legs: 4

## Check of min and max reinforcement level

Slab (reinforcement in tension - min, total reinforcement - max):  
 $\rho_{s,t} = 0,0151 \geq \rho_{s,min} = 0,00213 \Rightarrow \text{PASS}$   
 $\rho_s = 0,0281 \leq \rho_{s,max} = 0,04 \Rightarrow \text{PASS}$

## Shear reinforcement ratio

$\rho_w, \min = 0,00113 \leq \rho_w = 0,00151 \Rightarrow \text{PASS}$   
Max stirrup spacing  $s_{i,\max} = 0,40 \text{ m} \Rightarrow \text{PASS}$   
Max stirrup legs spacing  $s_{t,\max} = 1,36 \text{ m}$

## Check of ultimate limit state

no.	Name	$N_{Ed}$ [kN]	$N_{Rd}$ [kN]	$V_{Edz}$ [kN]	$V_{Rdz}$ [kN]	$M_{Edy}$ [kNm]	$M_{Rdy}$ [kNm]	Check
1	Zat. případ 1	-527,00	-41275,78	-79,00	-1212,56	2999,00	4249,21	Pass
2	Zat. případ 2	-957,00	-40139,45	-64,00	-1205,06	3399,00	4416,26	Pass

Ultimate limit state (bent-up bar, shear) PASS

Overall section check PASS

## 5.4 Деформации

Деформация  $u_z$  [mm] - quasi-permanent comb.:

$$u_{z,max} = -53\text{mm} = 1/358 L < u_{z,lim} = 1/250 L = 1/250*19000 \text{ mm} = 76\text{mm}$$

## ОГЪВАНЕТО НА КОНСТРУКЦИЯТА УДОВЛЕТВОРЯВА

## 5.5 Устойчивост на конструкцията против въздействията на подемната сила на водата

Минимална резултантна на вертикалното натоварване на фундамента (EQU):  $R_{z,d,min} = 3,8 \text{ MN}$

Дълбочина на фундамента под терена  $z_0 = 21,0 \text{ m}$ Подемна сила на водата:  $F_{z,w,d,max} = 2,8 \text{ MN}$ Заключение EQU:  $R_{z,d,min} = 3,8 \text{ MN} > F_{z,w,d,max} = 2,8 \text{ MN}$ 

## УСТОЙЧИВОСТТА НА КОНСТРУКЦИЯТА УДОВЛЕТВОРЯВА

## 6. ИЗПОЛЗВАНИ НОРМИ И ПРАВИЛНИЦИ

- БДС EN 1990 ОСНОВИ НА ПРОЕКТИРАНЕТО НА СТРОИТЕЛНИТЕ КОНСТРУКЦИИ
- БДС EN 1991 ВЪЗДЕЙСТВИЯ ВЪРХУ СТРОИТЕЛНИТЕ КОНСТРУКЦИИ
- БДС EN 1997 ГЕОТЕХНИЧЕСКО ПРОЕКТИРАНЕ
- БДС EN 1998 ПРОЕКТИРАНЕ НА КОНСТРУКЦИИТЕ ЗА СЕИЗМИЧНИ ВЪЗДЕЙСТВИЯ
- НАРЕДБА № РД-02-20-2 за проектиране на сгради и съоръжения в земетръсни райони, МИНИСТЕРСТВО НА РЕГИОНАЛНОТО РАЗВИТИЕ И БЛАГОУСТРОЙСТВОТО; I/2012

## 7. ЗАКЛЮЧЕНИЕ

Всички части на конструкцията са приемливи във всички изпитвани състояния. Следователно конструкцията като цяло **УДОВЛЕТВОРЯВА**.



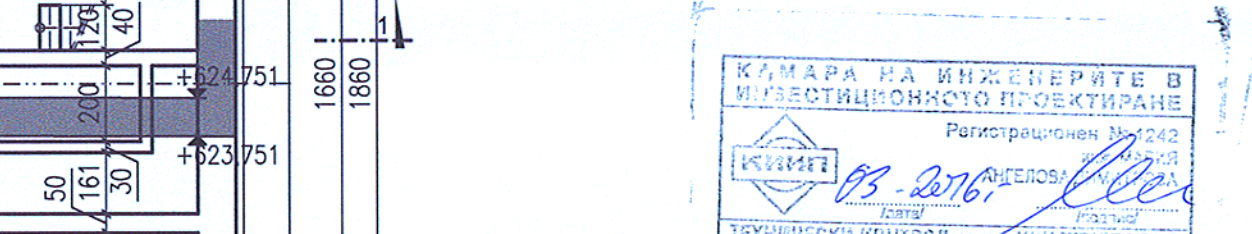
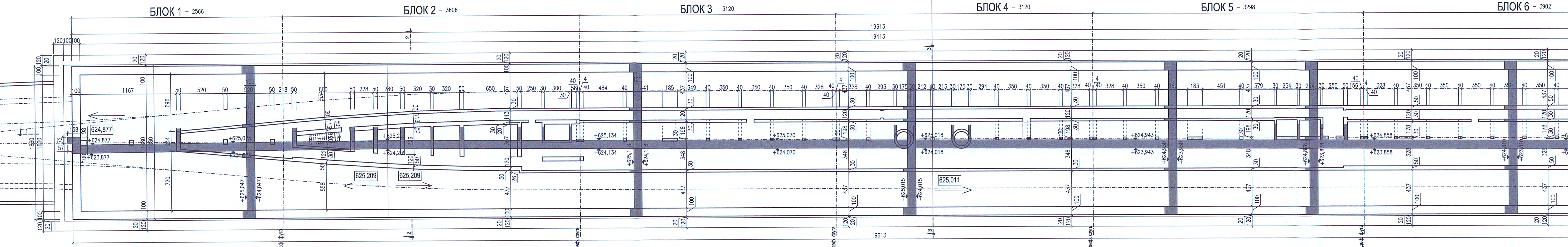


СЪГЛАСУВАЛИ

Част	Фамилия	Част	Фамилия
ВК	инж. Крачнова	Репсов път	инж. Pátek
ОВ	инж. Novák	АТ	инж. Нинов
Електро	инж. Нинов	Voráč	



19  
Крайния  
729.966 м 90.000 м  
т.р 626,801  
н.н.з.  
15+738.307  
п.р.  
644,87



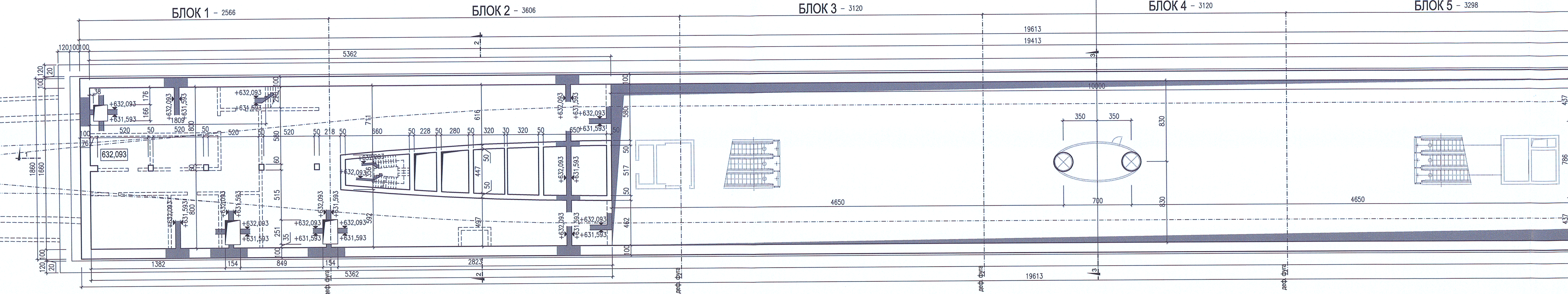
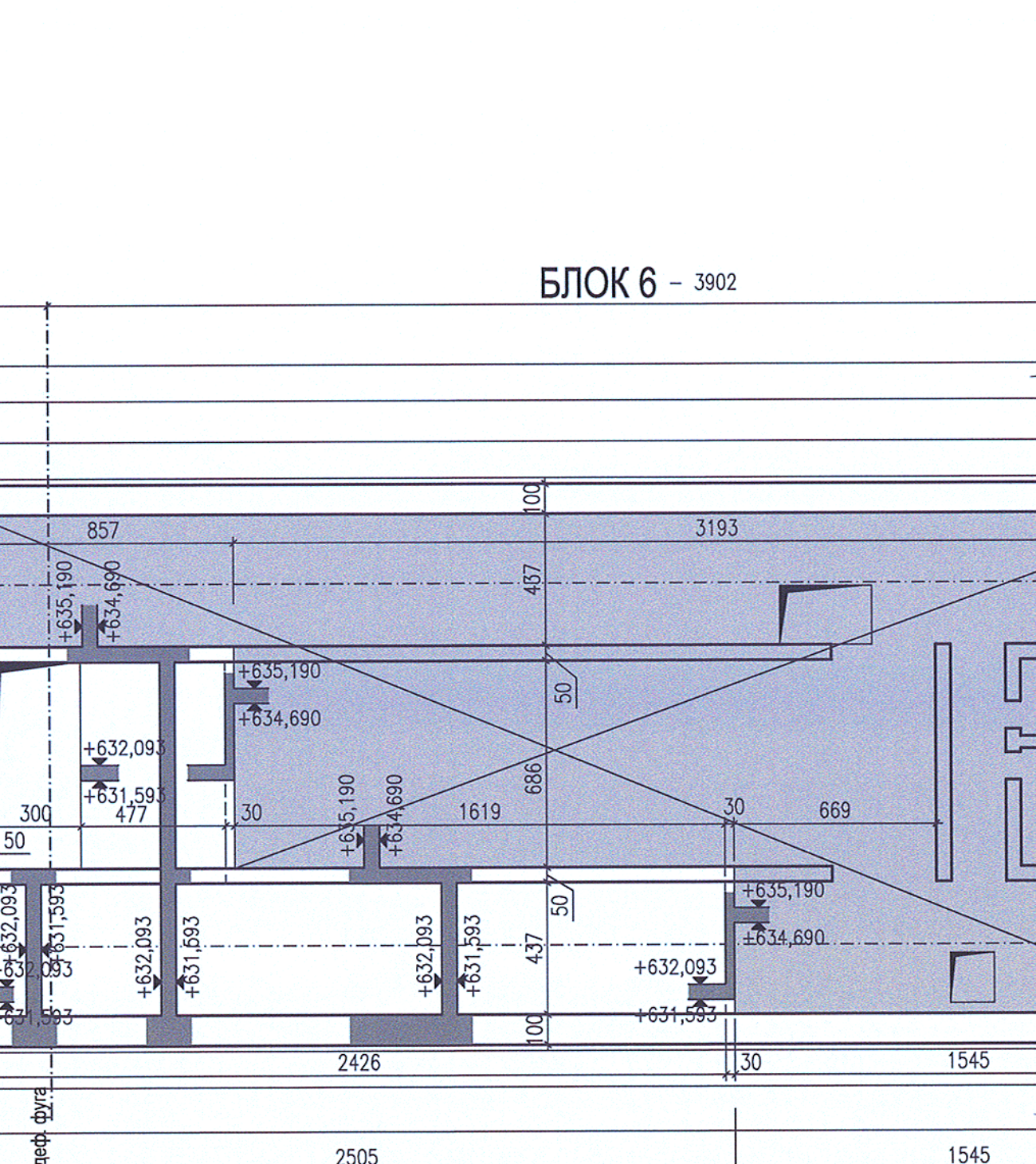
ЕВРОПЕЙСКИ СЪЮЗ  
ОПЕРАТИВНА ПРОГРАМА  
TRANSPORT  
2007-2013  
за редовично развитие

МЕТРОПРОЕКТ Прага А.Д.  
120 60 Прага 2  
Генерален изпълнител:  
инж. Roman Voráč  
тел.: +420 298 105  
моб.: +420 734 444 643  
info@metroprojekt.cz  
**METROPROJEKT**  
Инвеститор: „МЕТРОПОЛИТЕН“ ЕАД  
Обект: МЕТРО - СОФИЯ III. МЕТРОДИАМЕТЪР  
Подобект: МЕТРОСТАНЦИЯ №. МС 19  
Част: КОНСТРУКЦИИ  
Чертеж: Кофражен план основната плаща  
Управител: инж. Jiří Šleha  
Р-л ателие: инж. Jaroslav Káčovský  
Проектант: Roman Voráč  
Маш: ИДЕЕН ПРОЕКТ  
Фаза: ПРИЛ. №: (ИНД)  
1:200  
Дат: 03/2013  
Брой форм: 6-A4  
005



## СЪГЛАСУВАЛИ

Част	Фамилия	Част	Фамилия
ВК	инж. Крачунова	Релсов път	инж. Pátek
ОВ	инж. Novák	AT	инж. Нинов
Електро	инж. Нинов		Voráč



Инве
Оъек
Подо
Част:
Черт
Упра
Р-л а
Пас

р:	„МЕТРОПОЛИТЕН” ЕАД
	МЕТРО - СОФИЯ III. МЕТРОДИАМЕ
	МЕТРОСТАНЦИЯ №. МС 19
	КОНСТРУКЦИИ
	Кофражен план над перона 1
инж. Jiří Šlehlá	Мащ:
инж. Jaroslav Kácovský	Фаза: ИДЕЕ
Ремек Vondráček	Етап фазы:

**1:200** Дата: **03/20**  
**ПРОЕКТ** Прил. №: **(И)**  
**6-А4**

СЪГЛАСУВАЛИ

Част	Фамилия	Част	Фамилия
ВК	инж. Крачунова	Репсов път	инж. Rátek
ОВ	инж. Novák	АТ	инж. Ников
Електро	инж. Ников		инж. Voráč



19  
Крайния  
729.966 м - 90.000 м  
т.р. 626,801  
н.н.з.

15+738,307  
п.

644,87

станица

среда

п.

1

БЛОК 4 - 3120

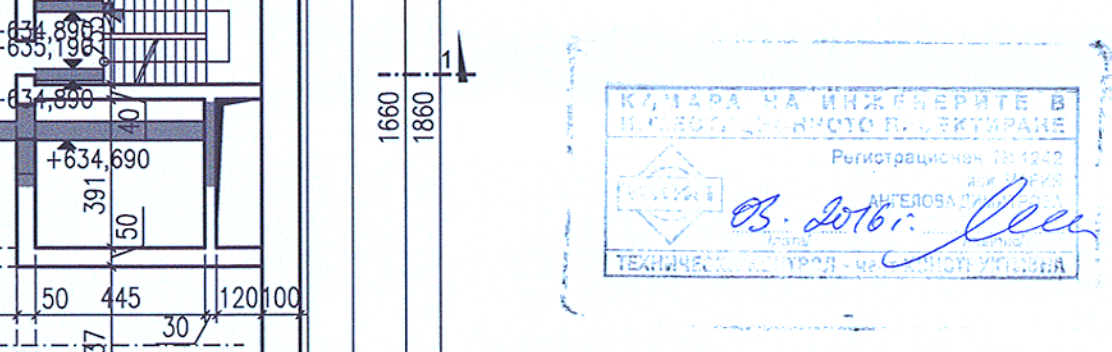
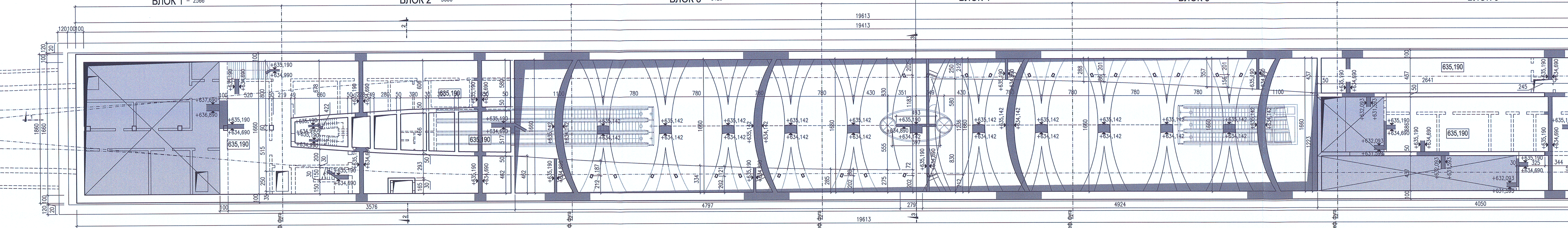
БЛОК 3 - 3120

БЛОК 2 - 3606

БЛОК 1 - 2566

БЛОК 5 - 3298

БЛОК 6 - 3902



ЕВРОПЕЙСКИ СЪЮЗ  
Български фонд  
за редовно развитие  
ОПЕРАТИВНА ПРОГРАМА  
TRANSPORT 2007-2013  
ПО-Близко, по-близо...  
НАЦИОНАНА  
СТРАТЕГИЧЕСКА  
РЕФЕРЕНТНА РАМКА  
2007 - 2013

МЕТРОПРОЕКТ София АД  
11130 София, бул.  
120 00 Тракия 2  
Генерален директор:  
инж. Димитър Красев  
тел.: +420 298 105  
уеб: www.metroprojekt.cz  
info@metroprojekt.cz

МЕТРОПОЛИТЕН" ЕАД  
МЕТРО - СОФИЯ III. МЕТРОДИАМЕТЪР

Инвеститор: МЕТРОПОЛИТЕН" ЕАД  
Оператор: МЕТРО - СОФИЯ III. МЕТРОДИАМЕТЪР

Поддръжка: МЕТРОСТАНЦИЯ №. МС 19

Част: КОНСТРУКЦИИ

Чертеж: Кофражки план над перона 2

Управител: инж. Jiří Štěchla  
Р-п ателие: инж. Jaroslav Károšovský  
Проектант: Roman Voráč

Маш: 1:200  
Фаза: ИДЕЕН ПРОЕКТ  
Проф. №: (ИНД)  
Брой форм: 6-A4

Дата: 03/2013  
Брой форм: 6-A4  
Проф. №: 008

## СЪГЛАСУВАЛИ

Част	Фамилия	Част	Фамилия
ВК	инж. Крачунова	Релсов път	инж. Pátek
ОВ	инж. Novák	АТ	инж. Нинов
Електро	инж. Нинов		Voráč

# БЛОК 6 - 3902

The figure shows a detailed technical drawing of a structural frame, likely a bridge pier or column, illustrating its cross-sectional dimensions and elevation levels. The drawing features a grid system with horizontal and vertical dashed lines. Key dimensions are labeled in millimeters (mm):

- Vertical Dimensions:**
  - Top edge: 120 mm
  - Second level from top: 100 mm
  - Third level from top: 20 mm
  - Bottom edge: 120 mm
  - Second level from bottom: 100 mm
  - Third level from bottom: 20 mm
- Elevation Labels:**
  - Left side: +638,490
  - Right side: +638,890
  - Bottom right corner: 100 mm
  - Bottom right corner: 25 mm
- Internal Dimensions:**
  - Width of the central vertical section: 120 mm
  - Width of the horizontal sections: 100 mm
  - Thickness of the vertical walls: 20 mm

The diagram illustrates a three-phase bridge rectifier circuit. It features three input phases labeled A, B, and C entering from the left. Each phase passes through a diode and connects to a common positive terminal. From this positive terminal, a dashed line extends horizontally to the right, representing the DC output. On the far right, there is a vertical rectangle representing a load, with internal components labeled  $C_1$ ,  $R$ ,  $C_2$ , and  $R_L$ .

Technical drawing showing a circular component with two holes and a central slot. The drawing includes dimensions and part numbers:

- Dimensions: 100, 120, 20.
- Part numbers: 9278, 9278.
- Text: сре-ста
- Text: 15+  
p
- Text: 644,8
- Text: 3
- Text: 3

A technical drawing of a vertical pipe section. The pipe has a central vertical axis. On the left side, there is a horizontal line with a dimension of 1660 and a label '690' in a box. On the right side, there is another horizontal line with a dimension of 1660 and a label '639,690'. A thick vertical line is positioned in the center, labeled '120' at the top and '100' at the bottom. To the left of this central line, there is a label '+639,690'. To the right, there are two labels: '+638,490' and '+638,890'. A horizontal dashed line extends from the top of the central line to the right, ending at a vertical dashed line. The word 'Фуга' is written vertically along the right edge of the drawing.

Architectural elevation drawing of a building section. The vertical axis shows levels and dimensions:

- Top level: 120
- Second level: 80
- Third level: +638,690
- Fourth level: +638,890
- Bottom level: +638,490

The drawing includes a detailed plan view of the building's footprint at the +638,690 level.

The diagram illustrates the 'Фуга' (Joint) structure, which consists of two main vertical columns and a central horizontal beam. The left column has a height of 100 and a width of 100. The right column has a height of 120 and a width of 80. A central horizontal beam connects them at a height of 80 from the base. The structure is built in three stages:

- Stage 1:** A vertical column of height 72 and width 100 is shown.
- Stage 2:** A second vertical column of height 72 and width 100 is added to the right of the first, with a gap of 100 between them. The total height is now 144.
- Stage 3:** A horizontal beam of height 80 and width 100 is placed across the top of the two vertical columns. The total height is now 224.

Annotations indicate the following dimensions and values:

- Vertical dimensions: 72, 100, 120, 80, 144, 224.
- Horizontal dimensions: 100, 100, 100.
- Assembly values: +639,690, +638,890, +639,690, +638,890, +639,690, +638,890, +639,690, +638,490.

This figure is an architectural floor plan of a building section, likely a basement or ground floor, oriented vertically. The plan includes several rooms and a central staircase. Key features and dimensions are labeled as follows:

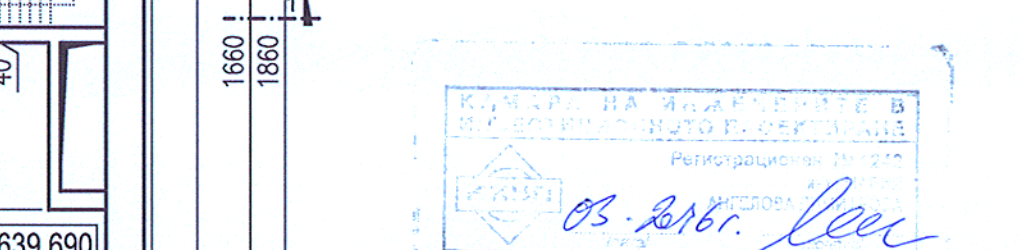
- Elevations:** +639,690, +639,590, +638,890, +638,660, +638,690, +638,890.
- Rooms and Areas:** 3, 228, 50, 356, 225, 30, 232, 435, 330, 50.
- Staircase:** A central staircase is located in the lower-middle portion of the plan.
- Walls:** Internal walls are represented by black lines, and exterior walls are shown in grey.

The figure is a topographic map section with the following key features:

- North Arrow:** Located in the upper left corner.
- Scale Bar:** Located in the lower left corner.
- Elevation Points:**
  - +636,890 (multiple occurrences)
  - +637,690
  - +636,890
  - +639,6
  - +638,8
  - 639,0
- Vertical Dashed Line:** A vertical dashed line with '100' written at both ends, positioned near the center of the map.
- Grid:** A grid system with horizontal and vertical lines, some of which are dotted.

The figure shows a detailed architectural floor plan of a building section. The plan includes various rooms and structural elements. Key dimensions are indicated as follows:

- Horizontal dimensions: 120, 100, 100.
- Vertical dimensions: 100, 100, 800, 60, 800, 100.
- Elevation markers: +637,690 and +636,890.



4

<p><b>МЕТРОПРОЕКТ</b> Прага А.Д. И. П. Павлова 2/1786 120 00 Прага 2 Генерални директор: инж. Давид Краса тел.: +420 298 105 www.metroprojekt.cz</p>		<p>ПО-БЛЮЗ, ПО-БЛЮЗ...</p>
--	---	----------------------------

**Инвеститор:** „МЕТРОПОЛИТЕН” ЕАД  
**Обект:** МЕТРО - СОФИЯ III. МЕТРОДИАМЕТЪР  
**Подобъект:** МЕТРОСТАНЦИЯ №. МС 19

Част:	КОНСТРУКЦИИ		
Чертеж:	Кофражен план над перона 3		
Управител	инж. Jiří Šlehlá	Маш:	1:200
Р-л ателие	инж. Jaroslav Káčovský	Фаза:	ИДЕЕН ПРОЕКТ
Проектант	Roman Voráč	Брой форм:	6-А4

СЪГЛАСУВАЛИ

Част	Фамилия	Част	Фамилия
ВК	инж. Крачунова	Репсов път	инж. Rátek
ОВ	инж. Novák	АТ	инж. Нинов
Електро	инж. Нинов	Voráč	



19  
Крайния  
729.966 м 90.000 м  
т.р. 626,801  
Н.Н.З.

15+738.307  
644,87

среда  
станция

р.

644,87

15+

738.307

644,87

644,87

644,87

644,87

644,87

644,87

644,87

644,87

644,87

644,87

644,87

644,87

644,87

644,87

644,87

644,87

644,87

644,87

644,87

644,87

644,87

644,87

644,87

644,87

644,87

644,87

644,87

644,87

644,87

644,87

644,87

644,87

644,87

644,87

644,87

644,87

644,87

644,87

644,87

644,87

644,87

644,87

644,87

644,87

644,87

644,87

644,87

644,87

644,87

644,87

644,87

644,87

644,87

644,87

644,87

644,87

644,87

644,87

644,87

644,87

644,87

644,87

644,87

644,87

644,87

644,87

644,87

644,87

644,87

644,87

644,87

644,87

644,87

644,87

644,87

644,87

644,87

644,87

644,87

644,87

644,87

644,87

644,87

644,87

644,87

644,87

644,87

644,87

644,87

644,87

644,87

644,87

644,87

644,87

644,87

644,87

644,87

644,87

644,87

644,87

644,87

644,87

644,87

644,87

644,87

644,87

644,87

644,87

644,87

644,87

644,87

644,87

644,87

644,87

644,87

644,87

644,87

644,87

644,87

644,87

644,87

644,87

644,87

644,87

644,87

644,87

644,87

644,87

644,87

644,87

644,87

644,87

644,87

644,87

644,87

644,87

644,87

644,87

644,87

644,87

644,87

644,87

644,87

644,87

644,87

644,87

644,87

644,87

644,87

644,87

644,87

644,87

644,87

644,87

644,87

644,87

644,87

644,87

644,87

644,87

644,87

644,87

644,87

644,87

644,87

644,87

644,87

644,87

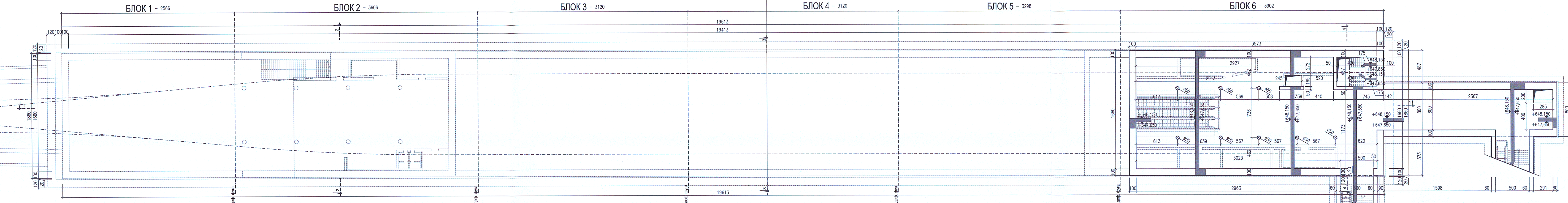
&lt;p

СЪГЛАСУВАЛИ

Част	Фамилия	Част	Фамилия
ВК	инж. Крачнова	Репсов път	инж. Rátek
ОВ	инж. Novák	АТ	инж. Нинов
Електро	инж. Нинов	Voráč	



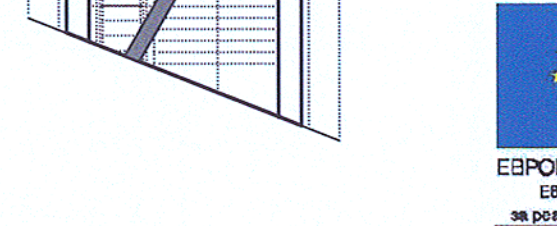
19  
Крайния  
729.966 м 90.000 м  
т.р. 626,801  
н.н.з.  
средна  
станция  
15+738.307  
р. 644,87



ЕВРОПЕЙСКИ СЪЮЗ

Европейски фонд

за регионално развитие



ОПЕРАТИВНА ПРОГРАМА

TRANSPORT

2007-2013



НАЦИОНАЛНА

СТРАТЕГИЧЕСКА

РЕФЕРЕНТНА РАМКА

2007 - 2013



03.01.16 / Олеа

МЕТРОПРОЕКТ

АД.

И. П. Гайдарова 21/1786

1600 г. София

тел.: +429 299 105

www.metroproject.bg

info@metroproject.bg

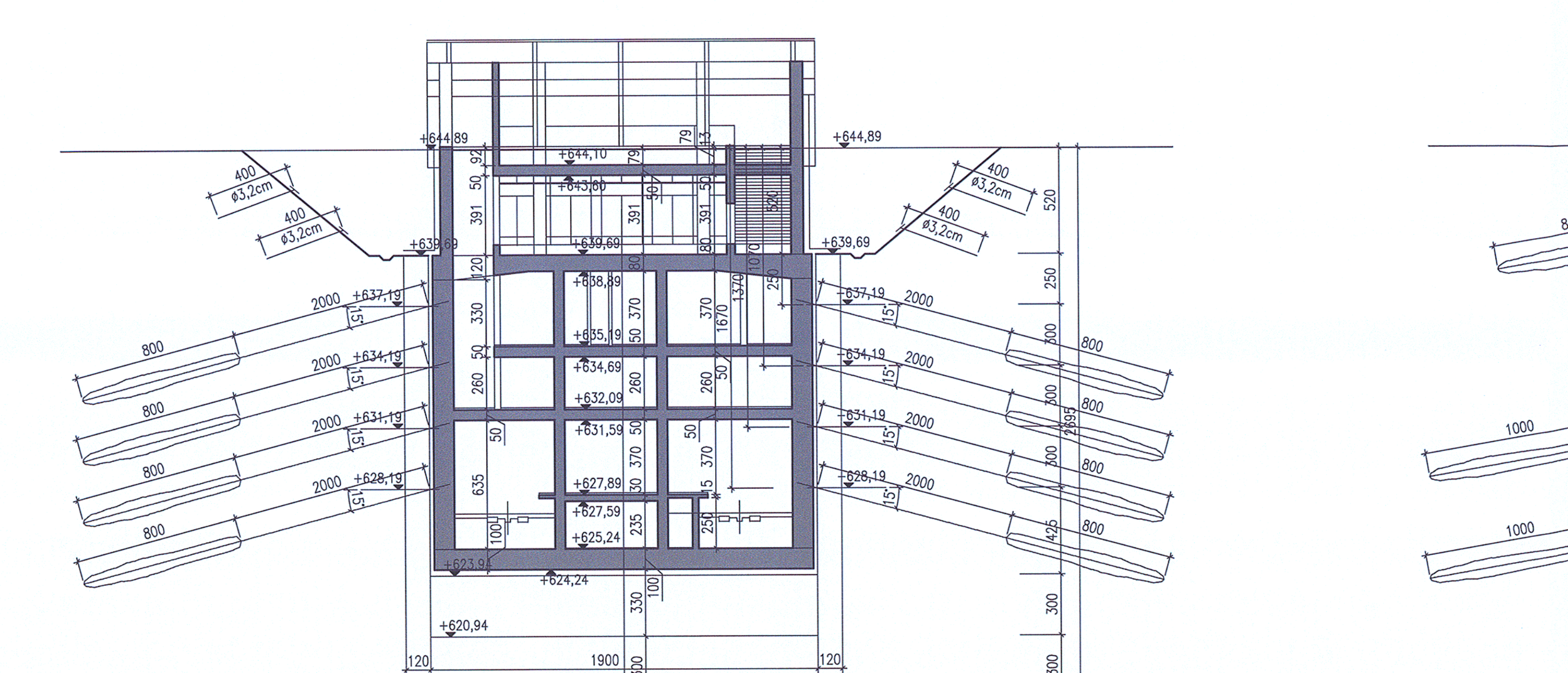
metroproject@abv.bg



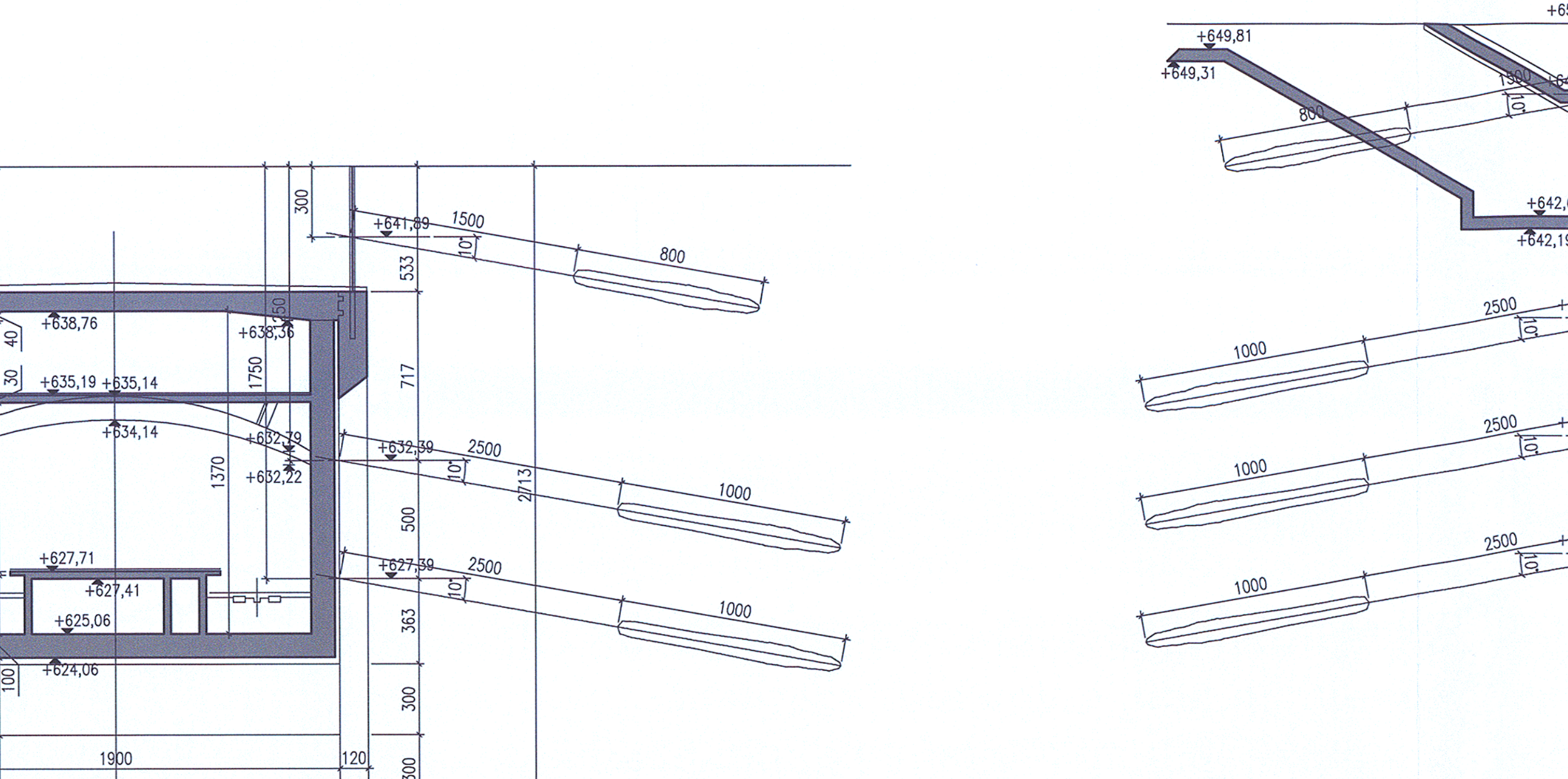
СЪГЛАСУВАЛИ

Част	Фамилия	Част	Фамилия
ВК	инж. Крачунова	Репсов път	инж. Rátek
ОВ	инж. Novák	АТ	инж. Нинов
Електро	инж. Нинов	Voráč	

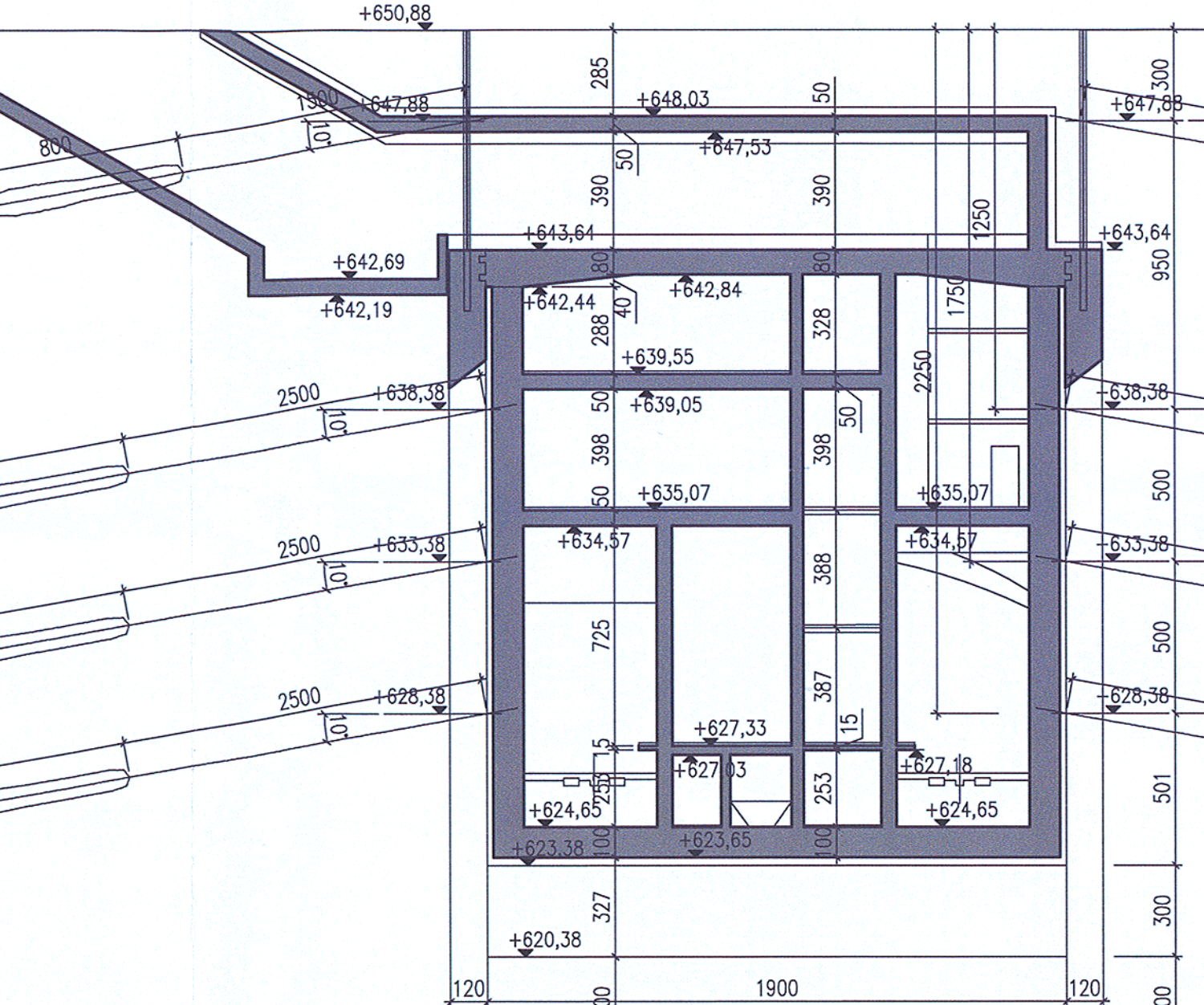
НАПРЕЧЕН РАЗРЕЗ 2 - 2, 3 - 3, 4 - 4



2 - 2



3 - 3



4 - 4

КОМПАНИЯ НА ИНЖЕНЕРНИТЕ Решения за градежни строежи и инсталации	
Регистрирана № 1242 Агенция по промишлено и сървисно производство	
03.2016г. <i>[Signature]</i>	
ЕВРОПЕЙСКИ СЪЮЗ Европейски фонд за революционни разработки	
ОПЕРАТИВНА ПРОГРАМА TRANSPORT 2007-2013 По-близко, по-близко...	
НАЦИОНАЛНА СТРАТЕГИЧЕСКА РЕФЕРЕНТНА РАМКА 2007-2013	
<b>METROPROJEKT</b> 	
<b>Инвеститор:</b> МЕТРОПОЛИТЕН ЕАД <b>Обект:</b> МЕТРО - СОБИЯ III, МЕТРОДИАМЕТЪР <b>Подобект:</b> МЕТРОСТАНЦИЯ №. МС 19 <b>Част:</b> КОНСТРУКЦИИ <b>Чертек:</b> Напречни разрези <b>Управител:</b> инж. Jiří Řehla <b>Р-р ателие:</b> инж. Jaroslav Káčovský <b>Проектант:</b> Roman Voráč	
<b>МЕТРОПРОЕКТ</b> Prague, A.D. 117 00 Praha 1 120 00 Praha 2 Телефон: +420 221 511 155 Факс: +420 221 511 156 e-mail: info@metroprojekt.cz www.metroprojekt.cz <b>Метрополитен ЕАД</b> 117 00 София Телефон: +359 2 961 11 11 Факс: +359 2 961 11 12 e-mail: info@metropoliten.com www.metropoliten.com	
<b>1:200</b> дата: 03/2013 <b>ИДЕЕН ПРОЕКТ</b> Прил. №: (ИНД) <b>6-A4</b> Брой форм: 013	